

伊豆諸島北部の地殻変動*

Crustal Deformations of Northern Izu Islands

國土地理院
Geographical Survey Institute

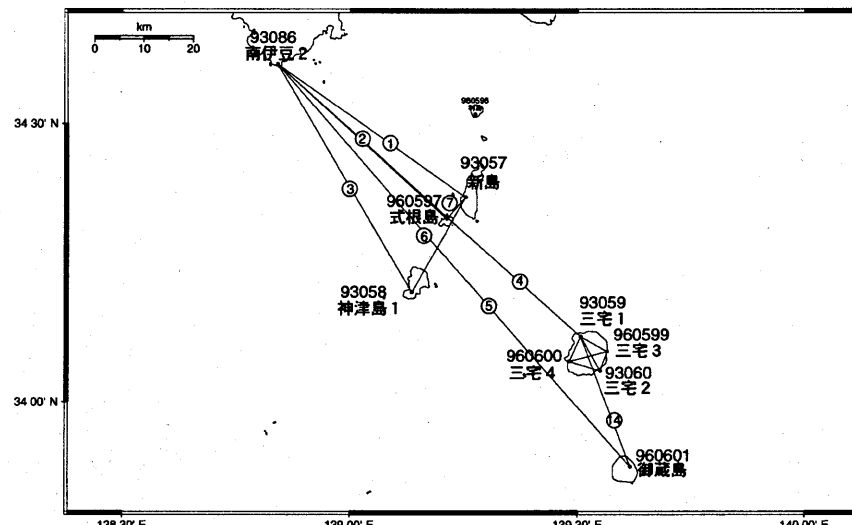
第1-1図～第1-29図は伊豆諸島北部のGPS連続観測結果である。

まず、三宅島の地殻変動であるが、第1-9図の基線⑧（概ね島を南北にまたぐ基線）および第1-14図の基線⑬（概ね三宅島を東西にまたぐ基線）などに見られるように、噴火後は、継続して短縮していた距離が、2002年8月頃から一時的に伸びる現象が見られた。その後2003年1月頃から、再度短縮に転じ現在に至っている。

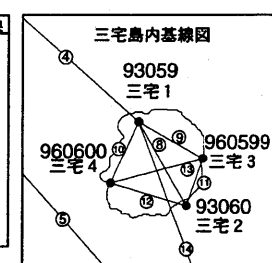
以上の変化は、2002年夏から2003年初頭にかけて、深部からのマグマ注入があったと考えることによって説明が可能である。 SO_2 （および H_2O などガス全体）の放出により、マグマ溜りは収縮し、三宅島の辺長も短縮するというメカニズムは、注入による膨張分を差し引けば、基本的には現在も継続していると考えられる。

第2-1図～第2-5図は、三宅島島内、村営牧場付近に設置した新しいGPS連続観測点に関する基線の観測結果である。設置後日が浅いため、データの数が十分ではないが、大きな地殻変動の発生が見られないことが確認できる。

伊豆諸島北部地区 GPS連続観測基線図



点番号	点名	アンテナ交換	アンテナ高調整	固定局アンテナ交換
93055	大島2	2003/5/29		
93086	南伊豆2	2003/2/25	2003/5/15	
93057	新島	1996/9/30 2003/5/26		
93059	三宅1			
960597	式根島	2003/5/27		
960600	三宅4			
960601	御蔵島	2003/4/28		
93058	神津島1	1997/4/8 2003/3/10		
93060	三宅2	2002/2/20		
960599	三宅3			2003/3/5



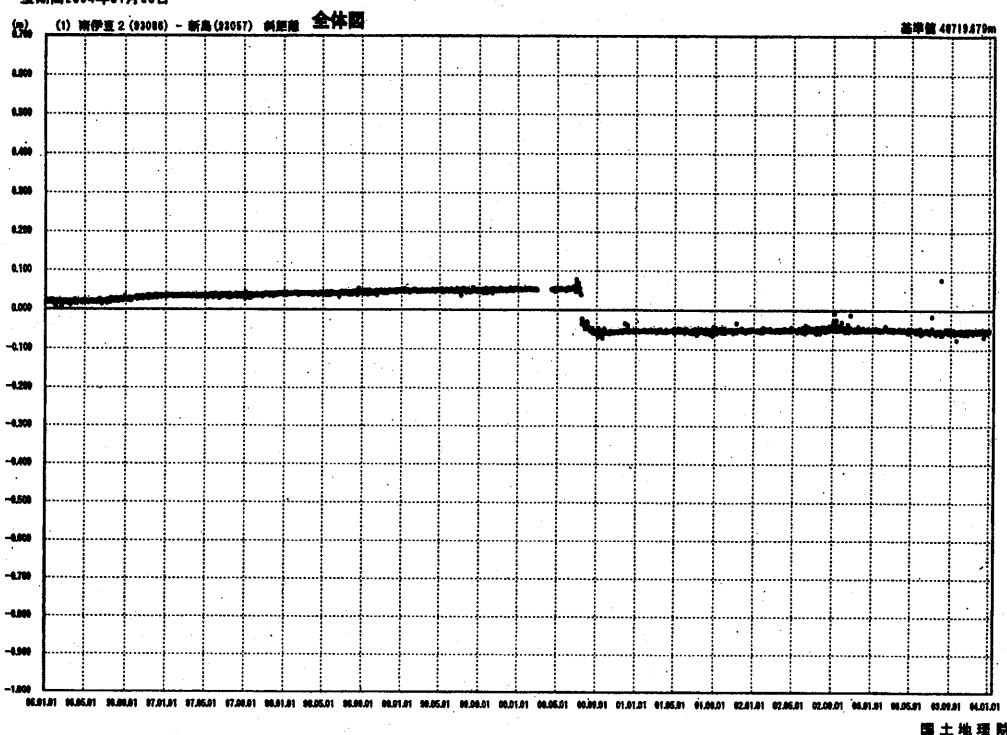
第1-1図 伊豆諸島北部のGPS連続観測結果（1996年1月～2004年1月）

Fig. 1-1 Results of Continuous GPS Measurements in the Northern Part of Izu Islands from January 1996 to January 2004. The lower figure on each page is magnified plots for the post eruptive period (January 2001 – January 2004).

* Received 30 March, 2004

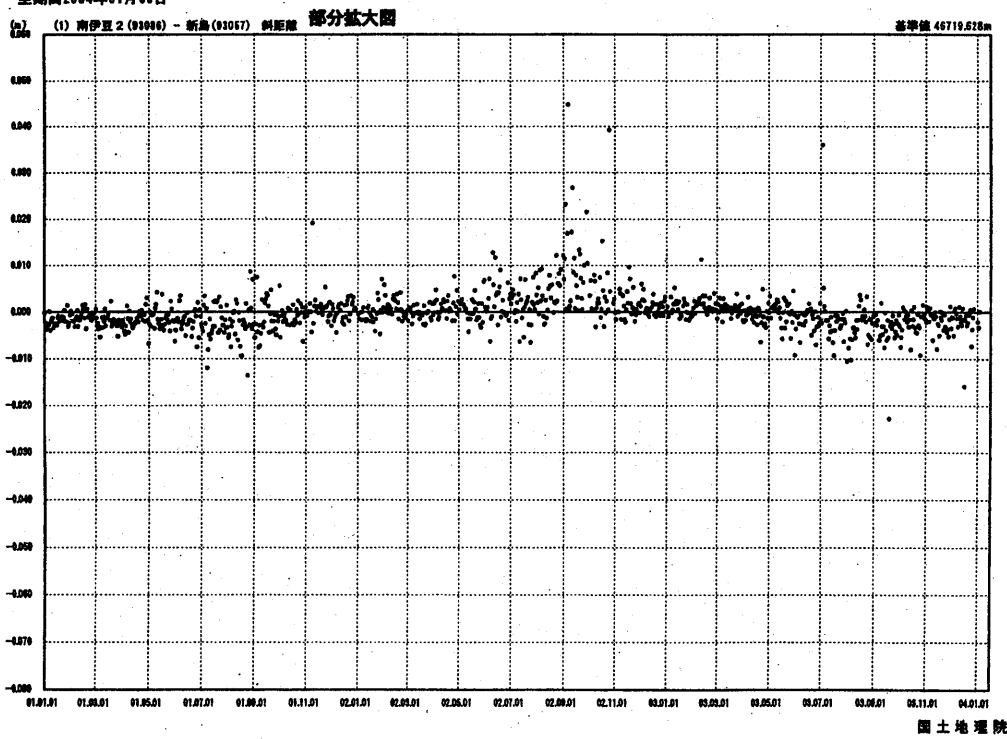
自期間1996年01月01日
至期間2004年01月03日

基線変化グラフ

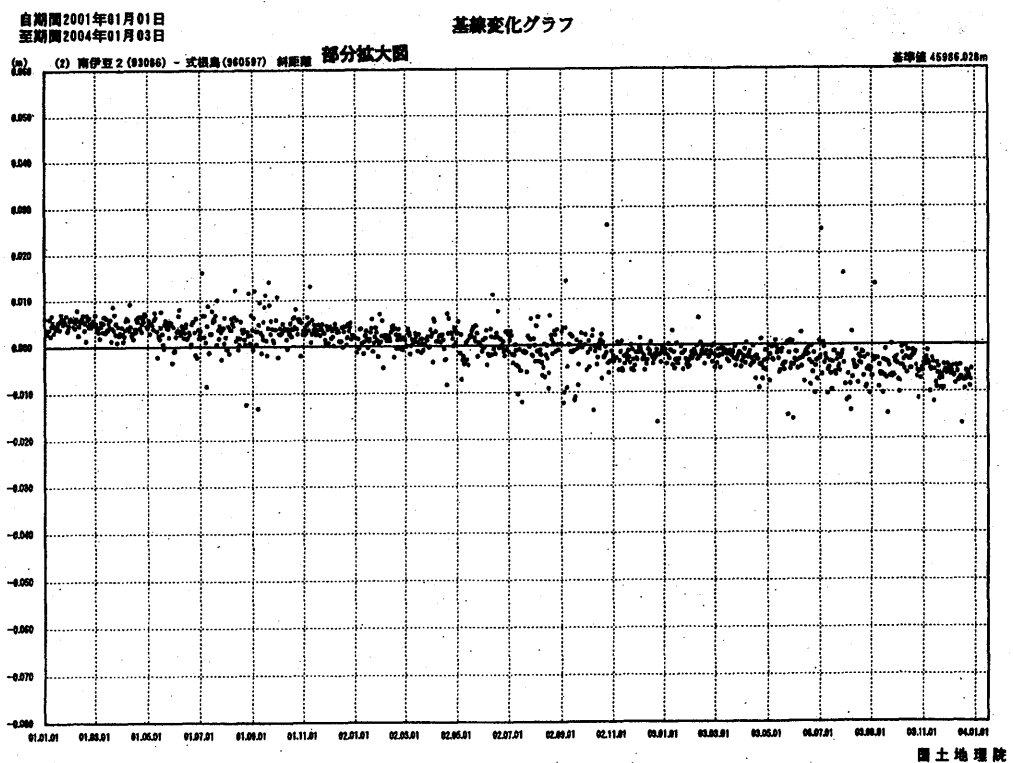
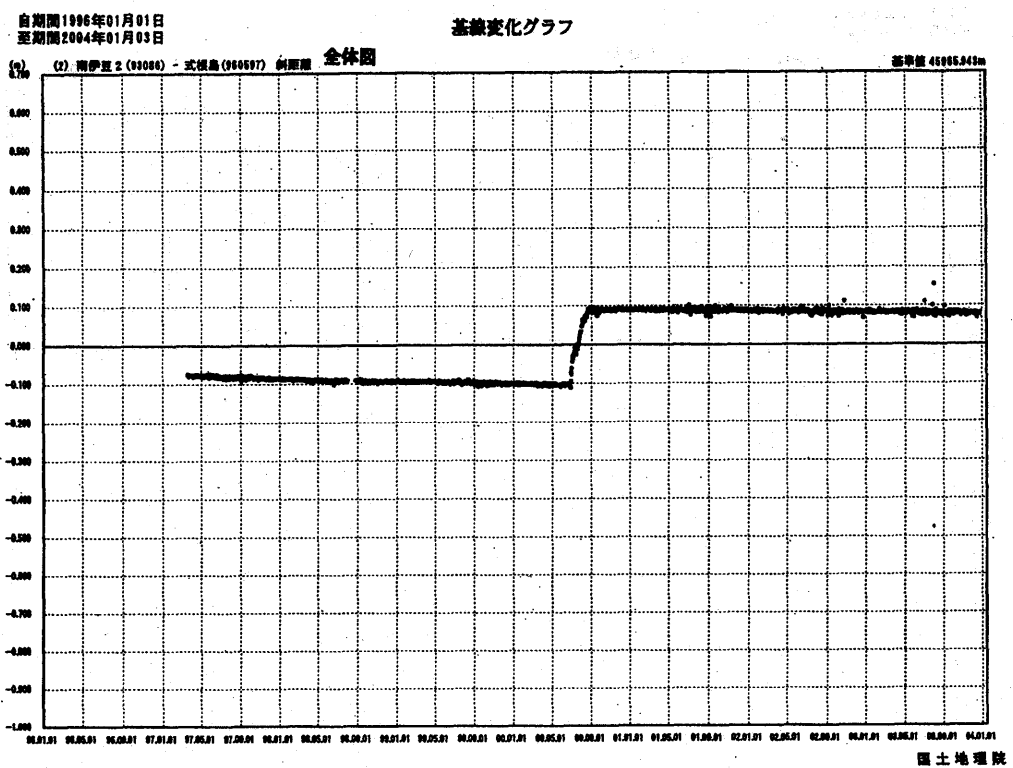


自期間2001年01月01日
至期間2004年01月03日

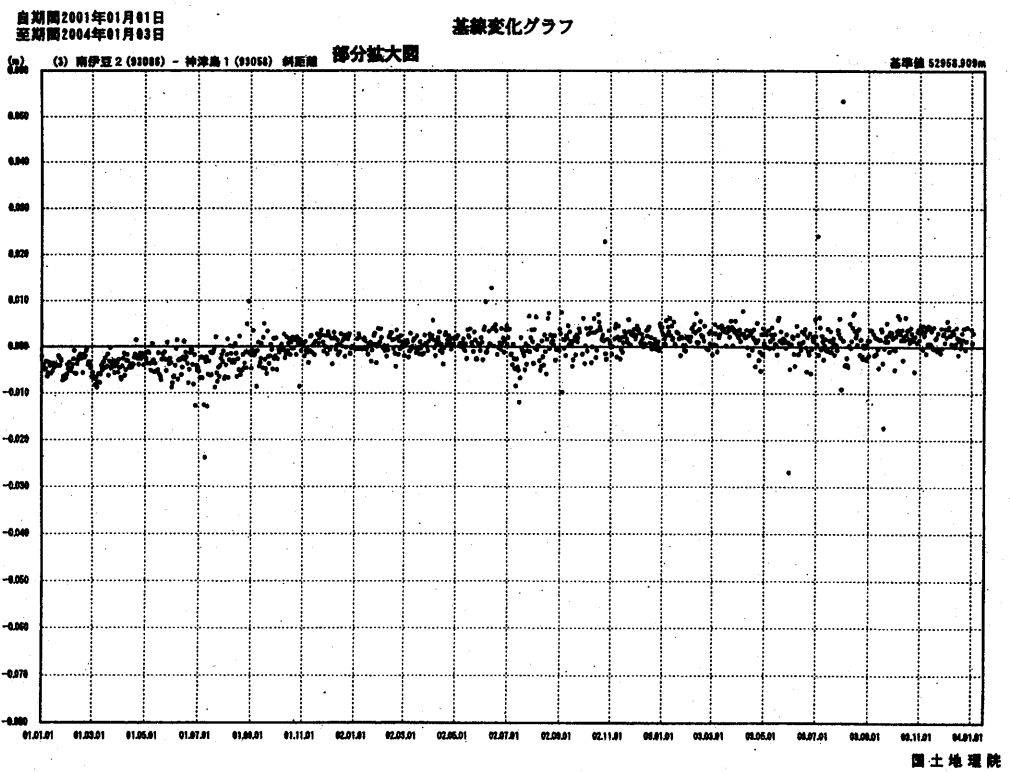
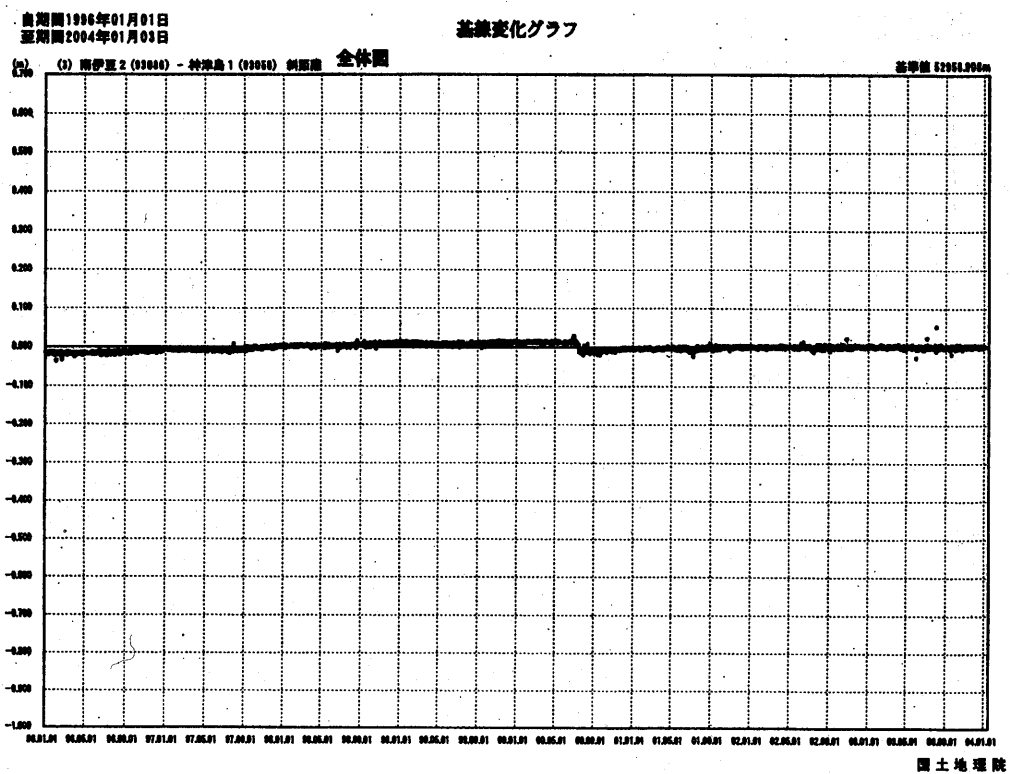
基線変化グラフ



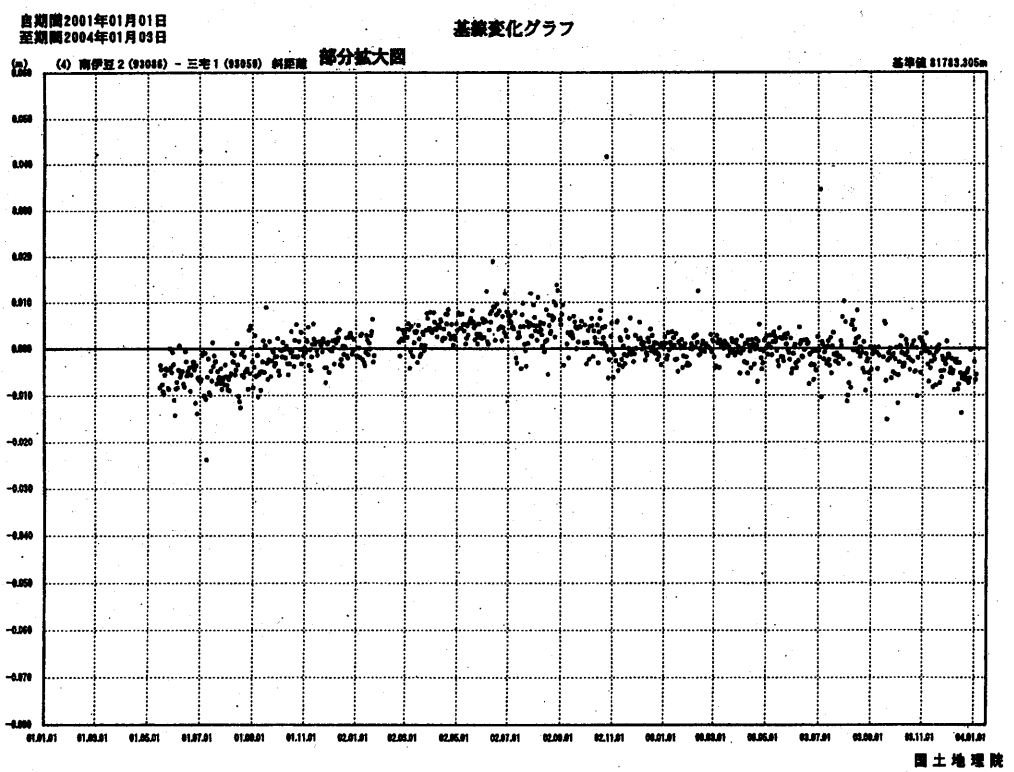
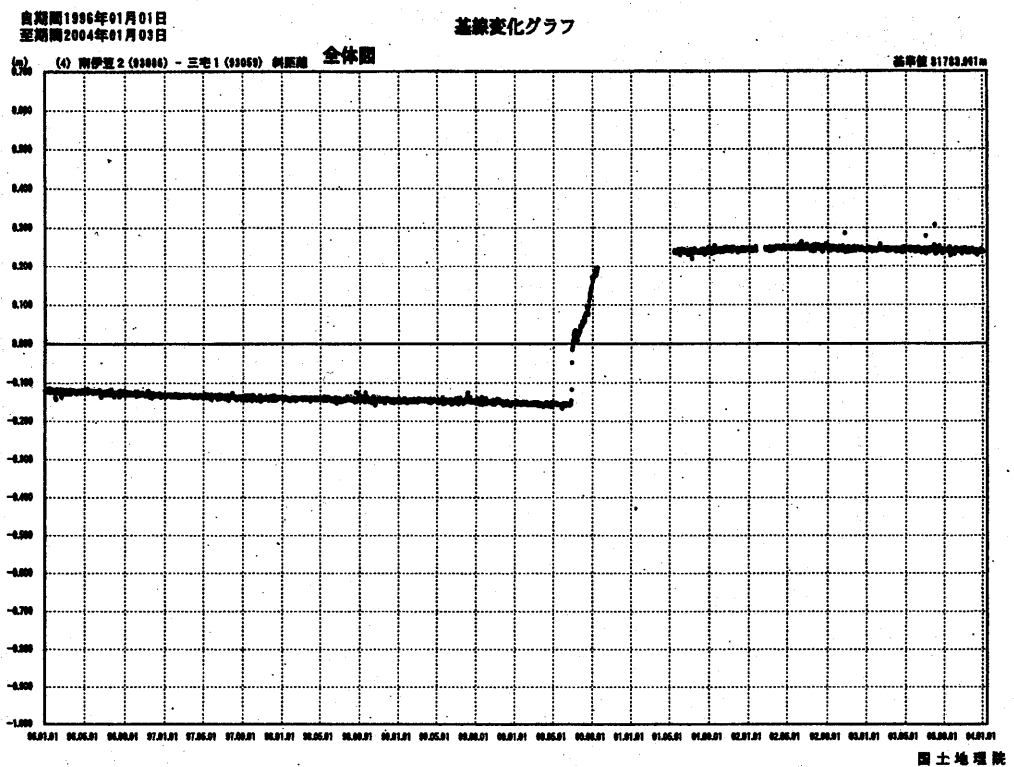
第1-2図 伊豆諸島北部のGPS連続観測結果（1996年1月～2004年1月）
Fig. 1-2 Results of Continuous GPS Measurements in the Northern Part of Izu Islands
from January 1996 to January 2004. The lower figure on each page is magnified
plots for the post eruptive period (January 2001 – January 2004).



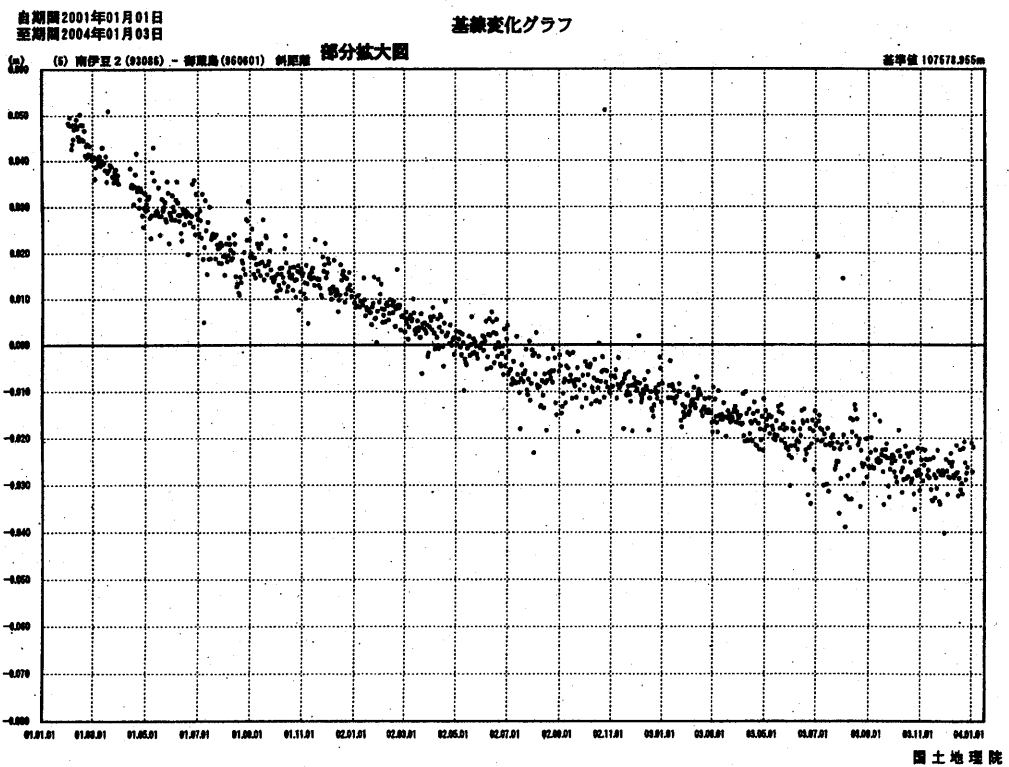
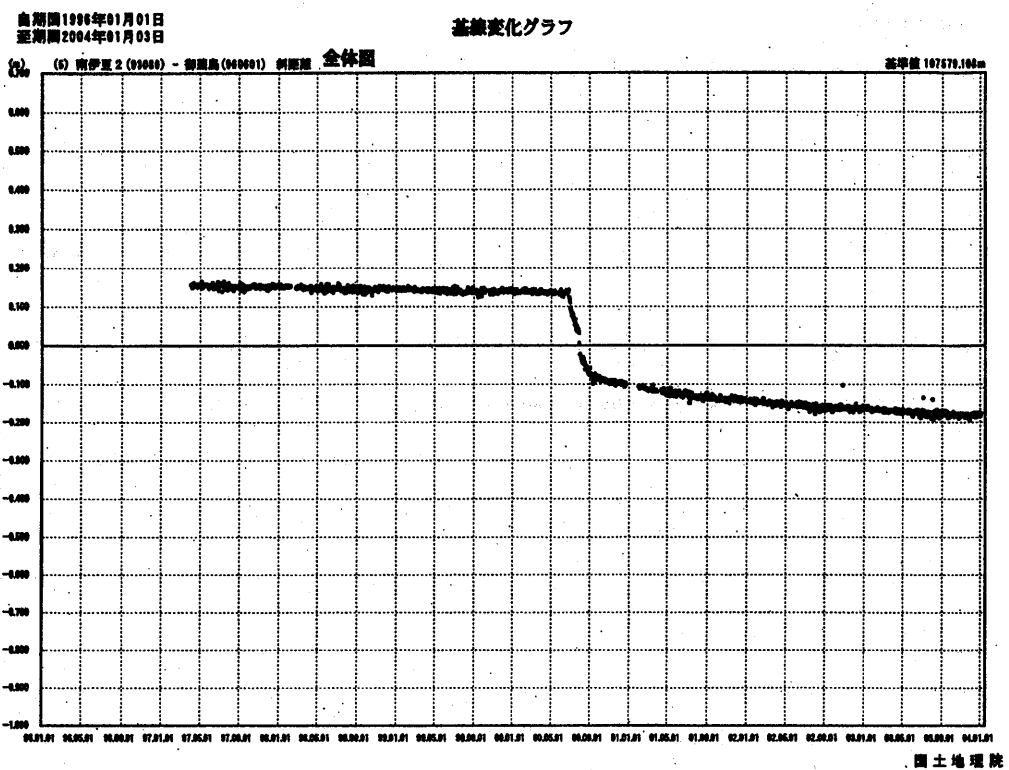
第1-3図 伊豆諸島北部のGPS連続観測結果（1996年1月～2004年1月）
 Fig.1-3 Results of Continuous GPS Measurements in the Northern Part of Izu Islands
 from January 1996 to January 2004. The lower figure on each page is magnified
 plots for the post eruptive period (January 2001 – January 2004).



第1-4図 伊豆諸島北部のGPS連続観測結果（1996年1月～2004年1月）
 Fig. 1-4 Results of Continuous GPS Measurements in the Northern Part of Izu Islands
 from January 1996 to January 2004. The lower figure on each page is magnified
 plots for the post eruptive period (January 2001 – January 2004).



第1-5図 伊豆諸島北部のGPS連続観測結果（1996年1月～2004年1月）
 Fig. 1-5 Results of Continuous GPS Measurements in the Northern Part of Izu Islands
 from January 1996 to January 2004. The lower figure on each page is magnified
 plots for the post eruptive period (January 2001 – January 2004).



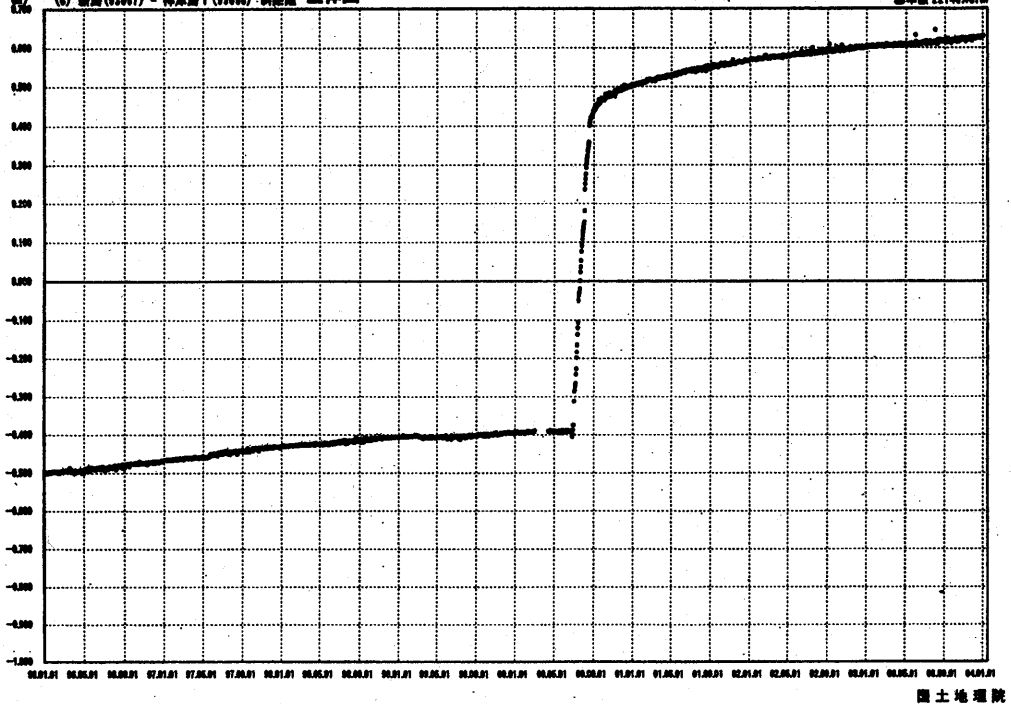
第1-6図 伊豆諸島北部のGPS連続観測結果（1996年1月～2004年1月）
 Fig. 1-6 Results of Continuous GPS Measurements in the Northern Part of Izu Islands
 from January 1996 to January 2004. The lower figure on each page is magnified
 plots for the post eruptive period (January 2001 – January 2004).

自期間1996年01月01日
至期間2004年01月03日

基線変化グラフ

(a) 新島(03057) - 神津島1(03068) 斜距離 全体図

基準値 22146.487m



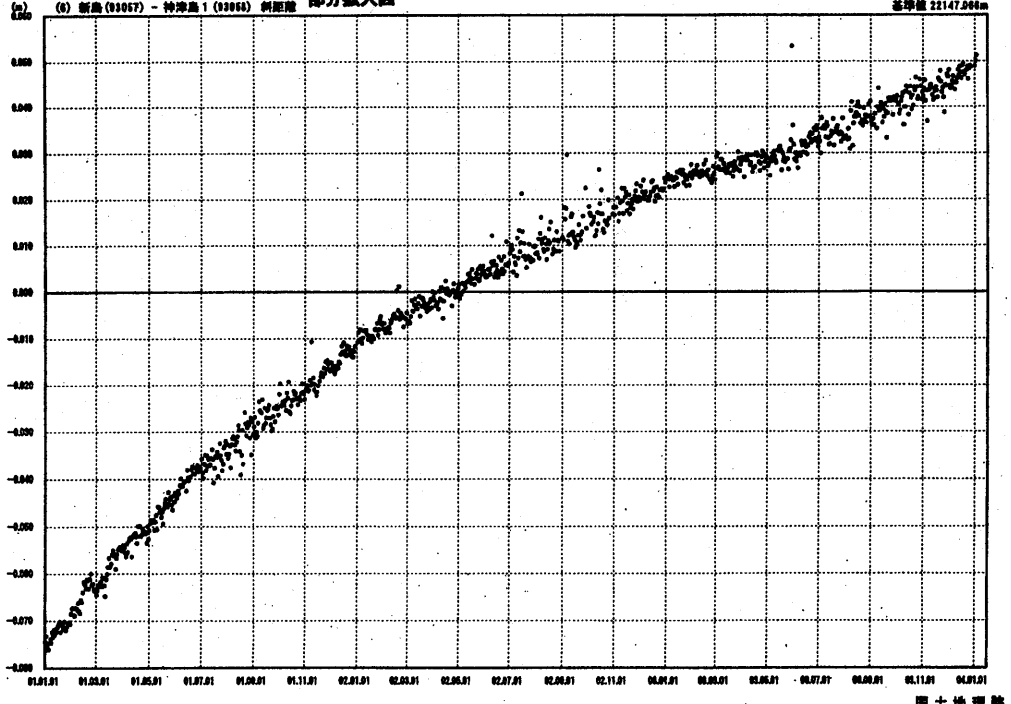
国土地理院

自期間2001年01月01日
至期間2004年01月03日

基線変化グラフ

(a) 新島(03057) - 神津島1(03068) 斜距離 部分拡大図

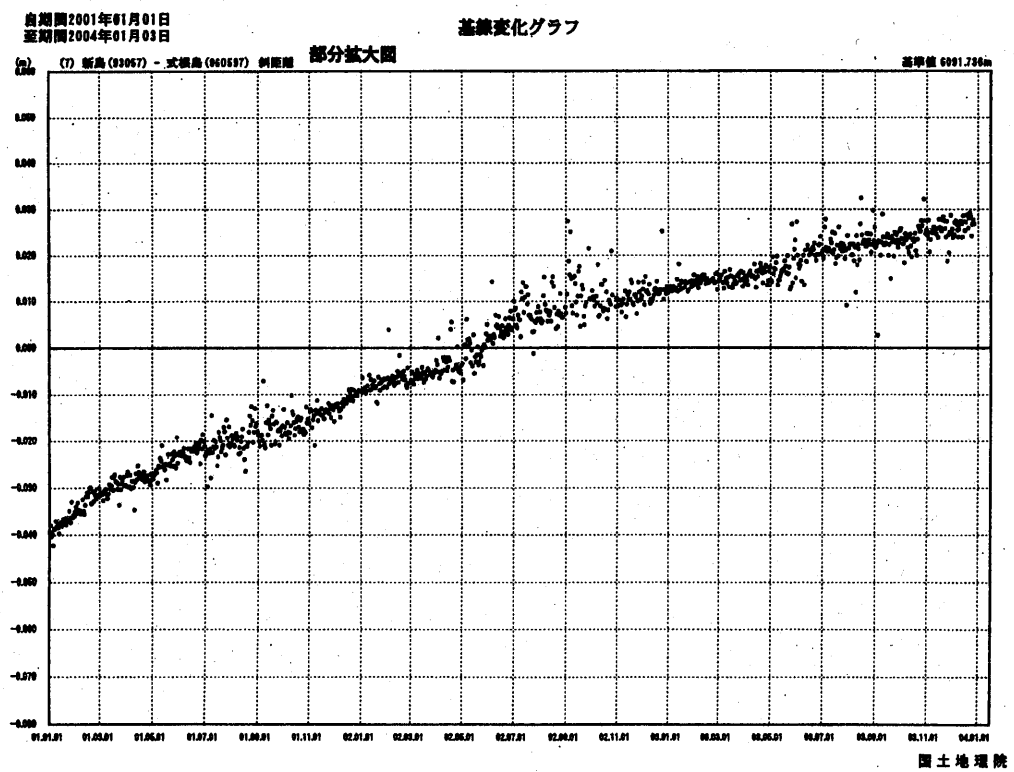
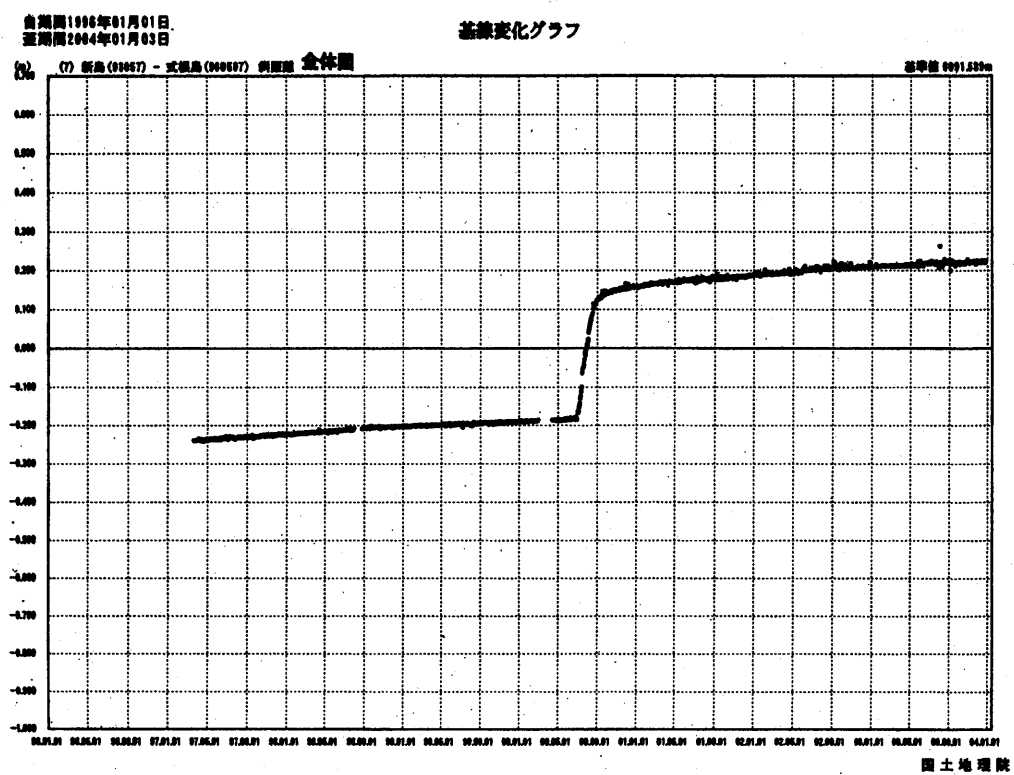
基準値 22147.946m



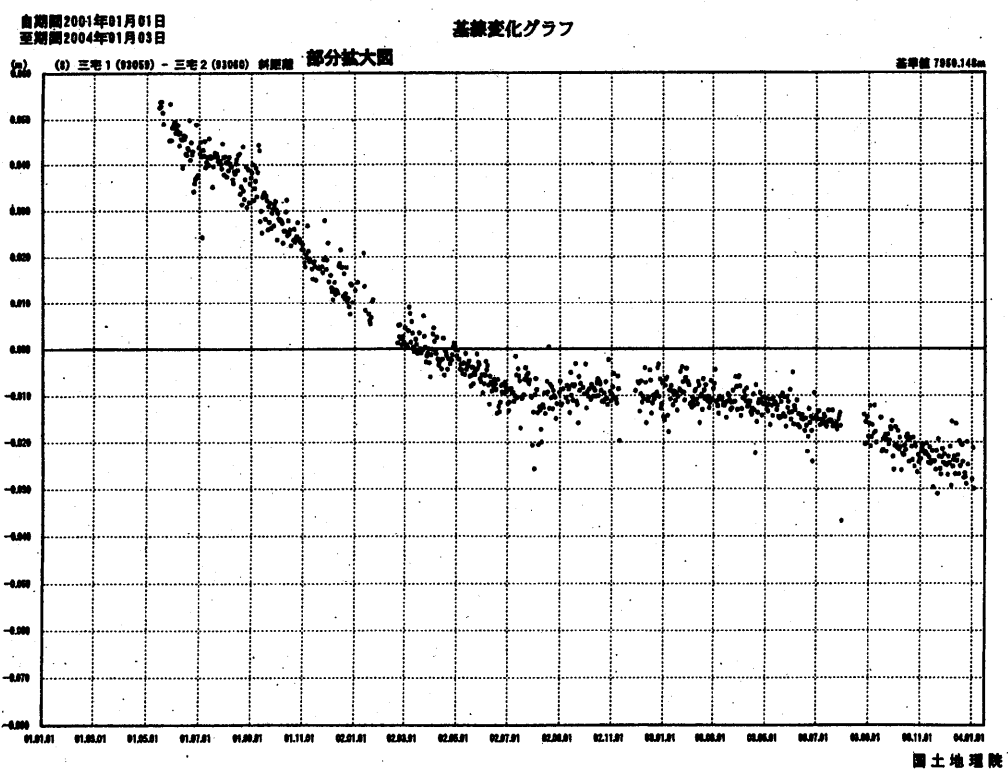
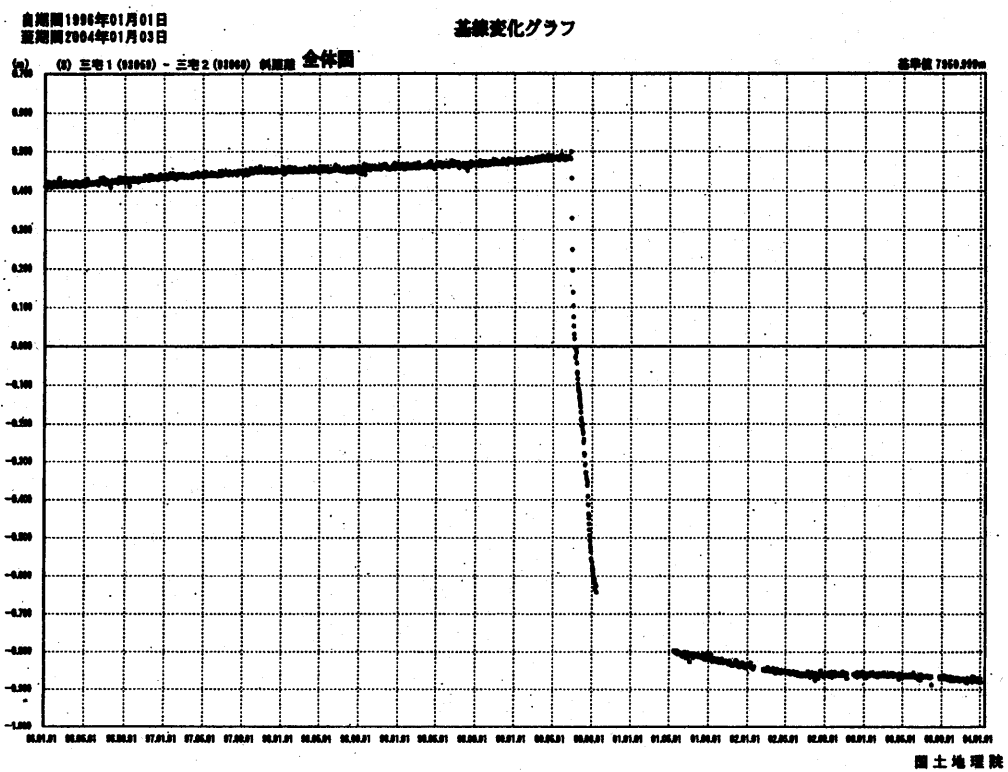
国土地理院

第1-7図 伊豆諸島北部のGPS連続観測結果（1996年1月～2004年1月）

Fig. 1-7 Results of Continuous GPS Measurements in the Northern Part of Izu Islands from January 1996 to January 2004. The lower figure on each page is magnified plots for the post eruptive period (January 2001 – January 2004).



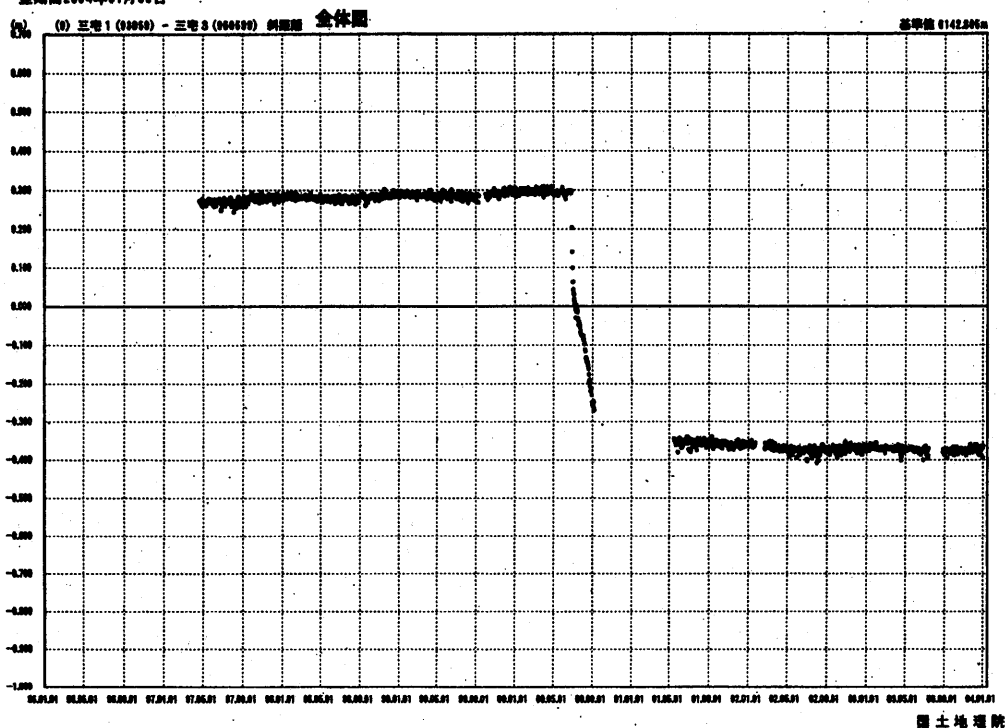
第1-8図 伊豆諸島北部のGPS連続観測結果（1996年1月～2004年1月）
 Fig. 1-8 Results of Continuous GPS Measurements in the Northern Part of Izu Islands
 from January 1996 to January 2004. The lower figure on each page is magnified
 plots for the post eruptive period (January 2001 – January 2004).



第1-9図 伊豆諸島北部のGPS連続観測結果（1996年1月～2004年1月）
 Fig. 1-9 Results of Continuous GPS Measurements in the Northern Part of Izu Islands
 from January 1996 to January 2004. The lower figure on each page is magnified
 plots for the post eruptive period (January 2001 – January 2004).

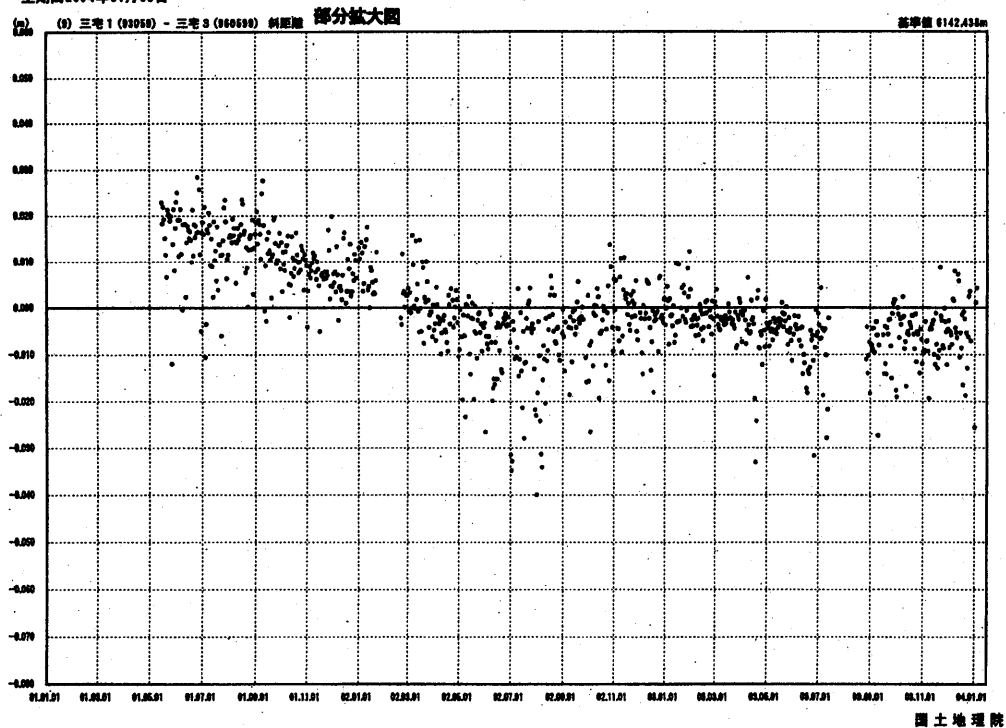
自期間1996年01月01日
至期間2004年01月03日

基線変化グラフ



自期間2001年01月01日
至期間2004年01月03日

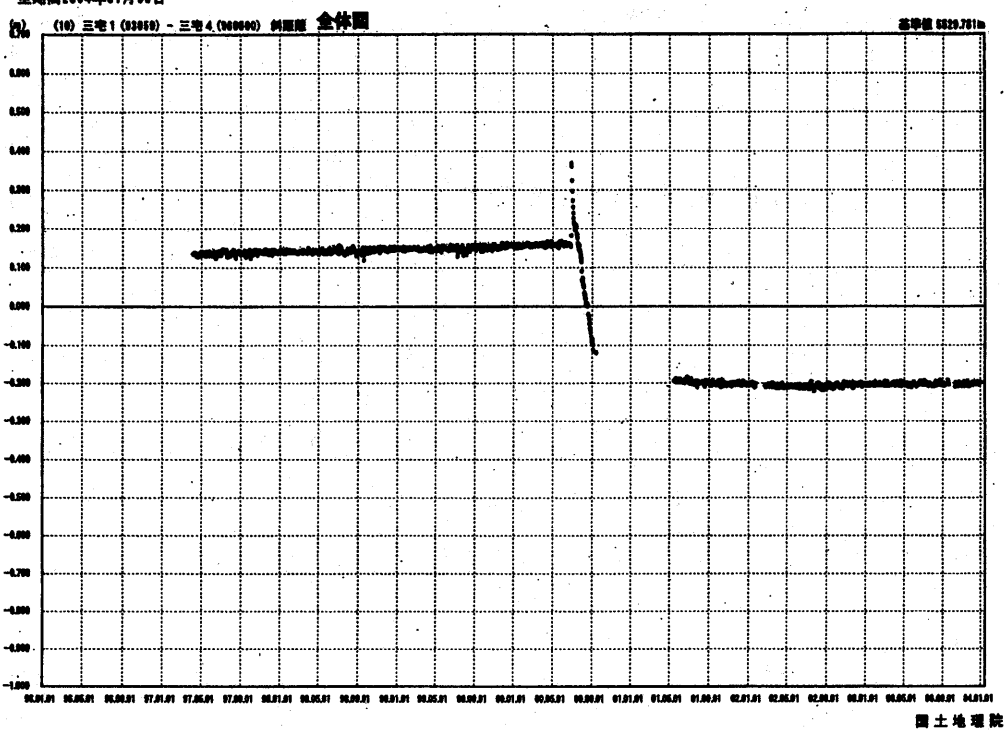
基線変化グラフ



第1-10図 伊豆諸島北部のGPS連続観測結果（1996年1月～2004年1月）
Fig. 1-10 Results of Continuous GPS Measurements in the Northern Part of Izu Islands
from January 1996 to January 2004. The lower figure on each page is magnified
plots for the post eruptive period (January 2001 – January 2004).

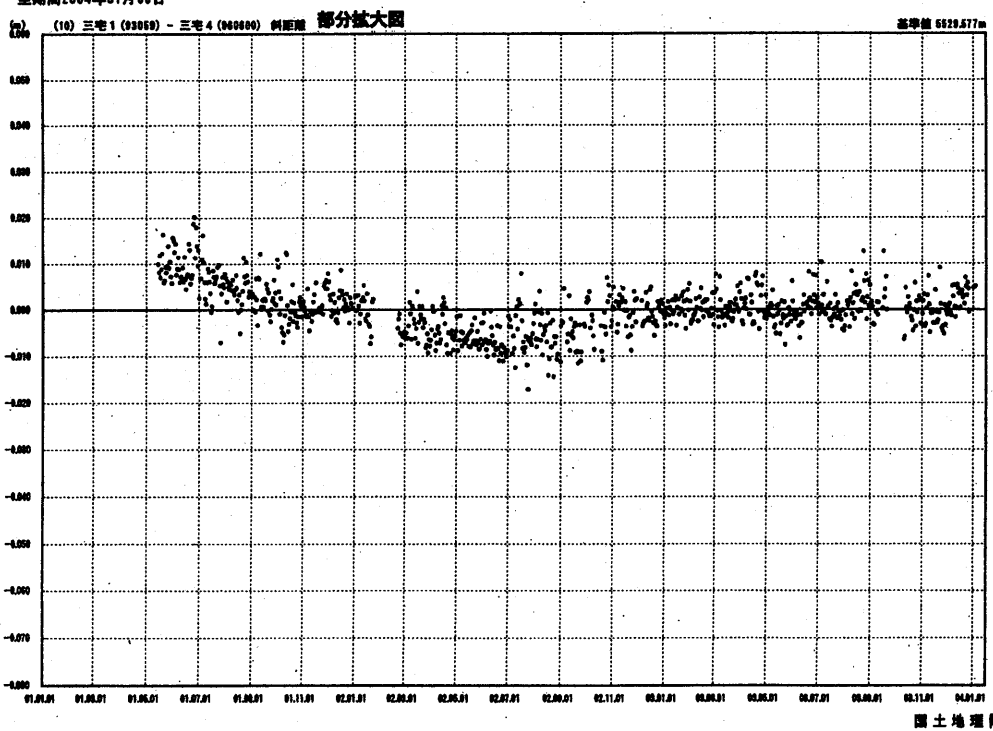
自期間1996年01月01日
至期間2004年01月03日

基線変化グラフ



自期間2001年01月01日
至期間2004年01月03日

基線変化グラフ

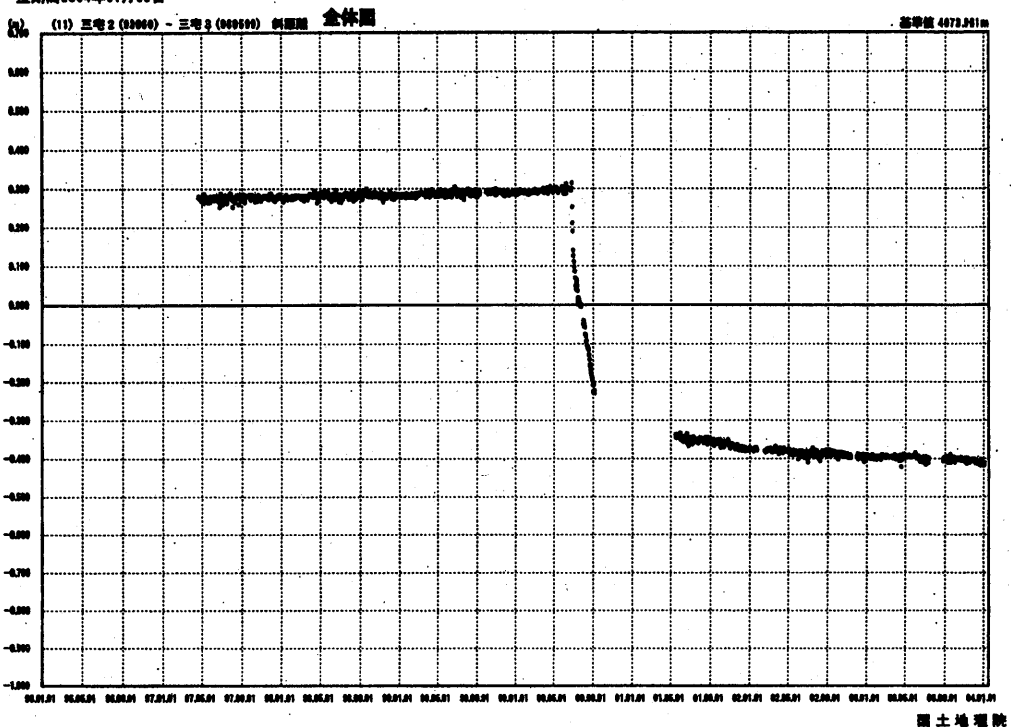


第1-11図 伊豆諸島北部のGPS連続観測結果（1996年1月～2004年1月）

Fig. 1-11 Results of Continuous GPS Measurements in the Northern Part of Izu Islands from January 1996 to January 2004. The lower figure on each page is magnified plots for the post eruptive period (January 2001 – January 2004).

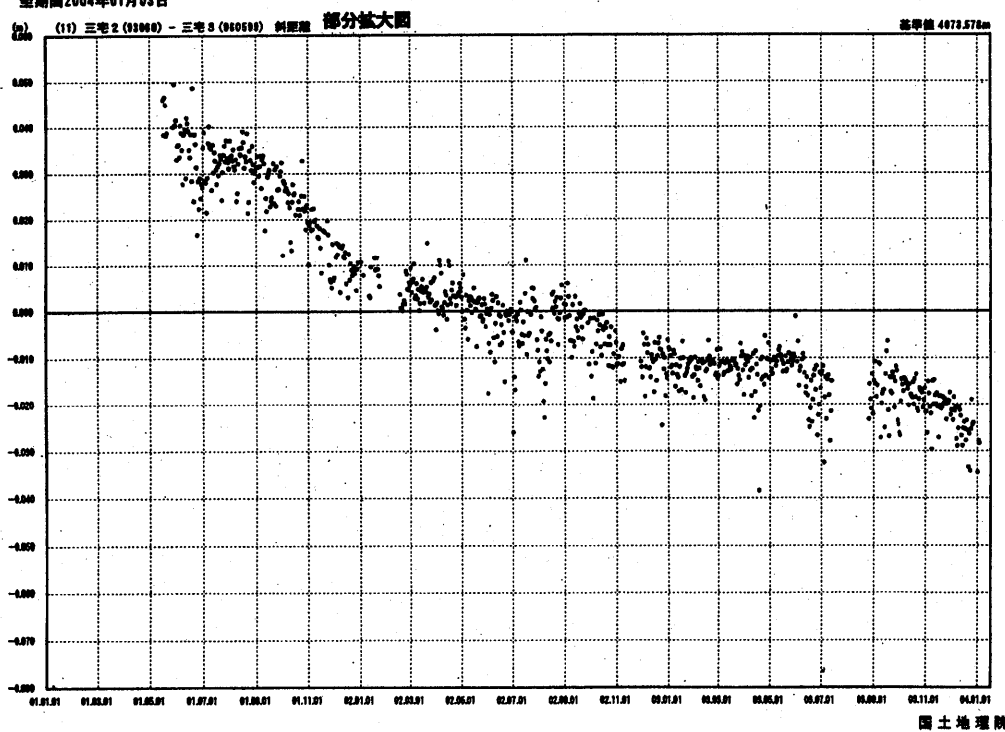
自測開始 1996年01月01日
至測開始 2004年01月03日

基線変化グラフ



自測開始 2001年01月01日
至測開始 2004年01月03日

基線変化グラフ

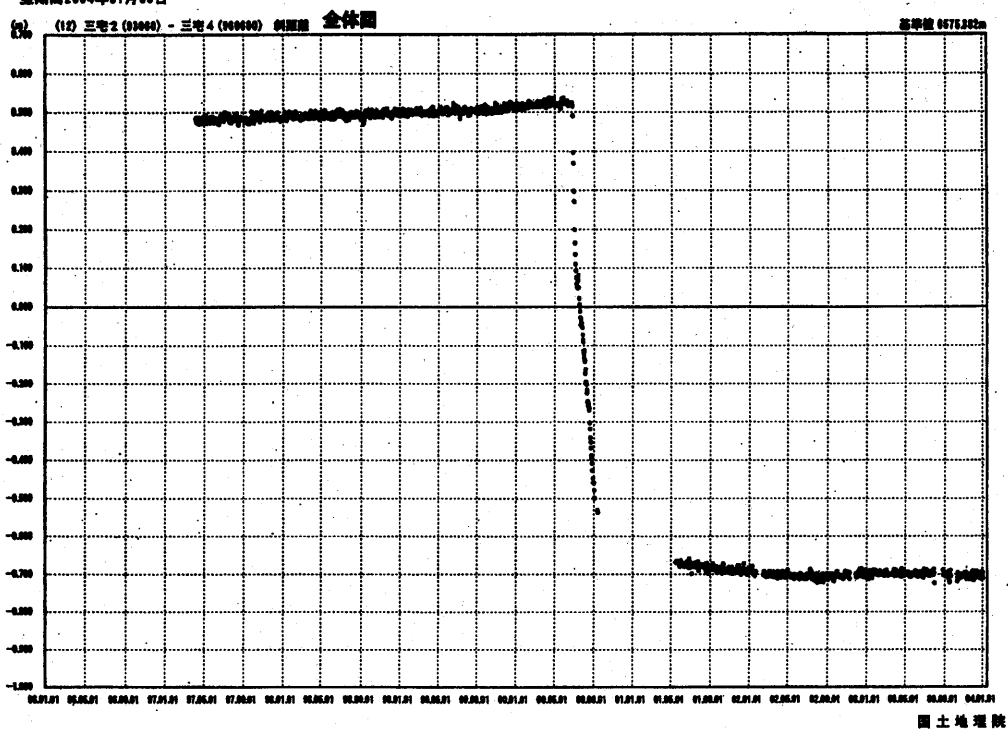


第 1-12 図 伊豆諸島北部の GPS 連続観測結果 (1996 年 1 月～2004 年 1 月)

Fig. 1-12 Results of Continuous GPS Measurements in the Northern Part of Izu Islands from January 1996 to January 2004. The lower figure on each page is magnified plots for the post eruptive period (January 2001 – January 2004).

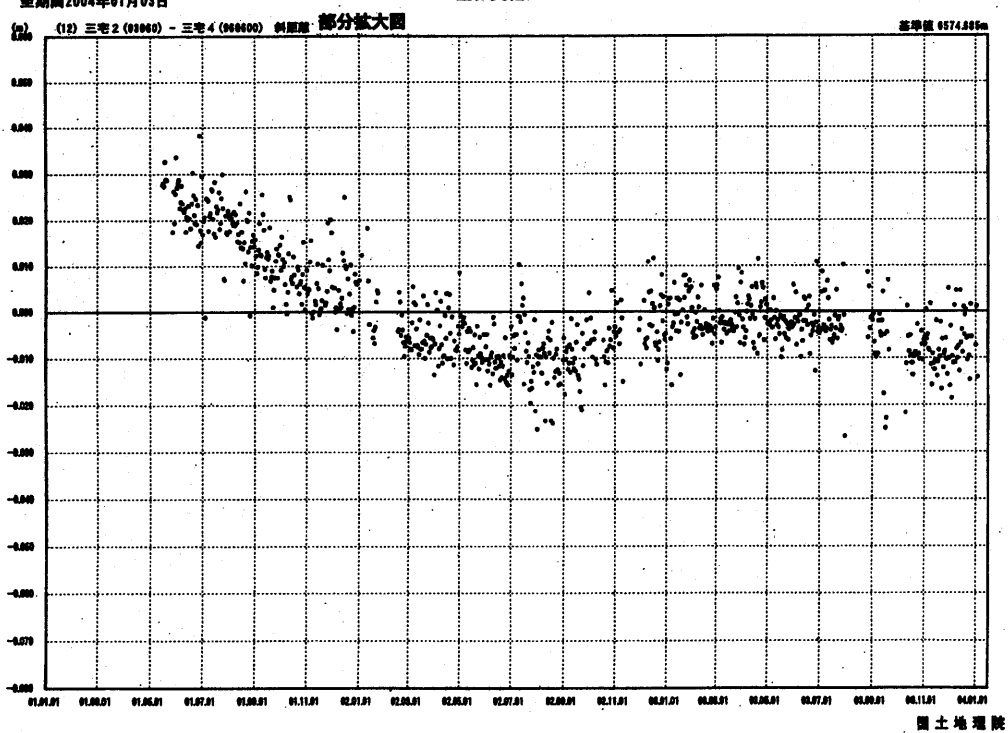
自期間1996年01月01日
至期間2004年01月03日

基線変化グラフ



自期間2001年01月01日
至期間2004年01月03日

基線変化グラフ

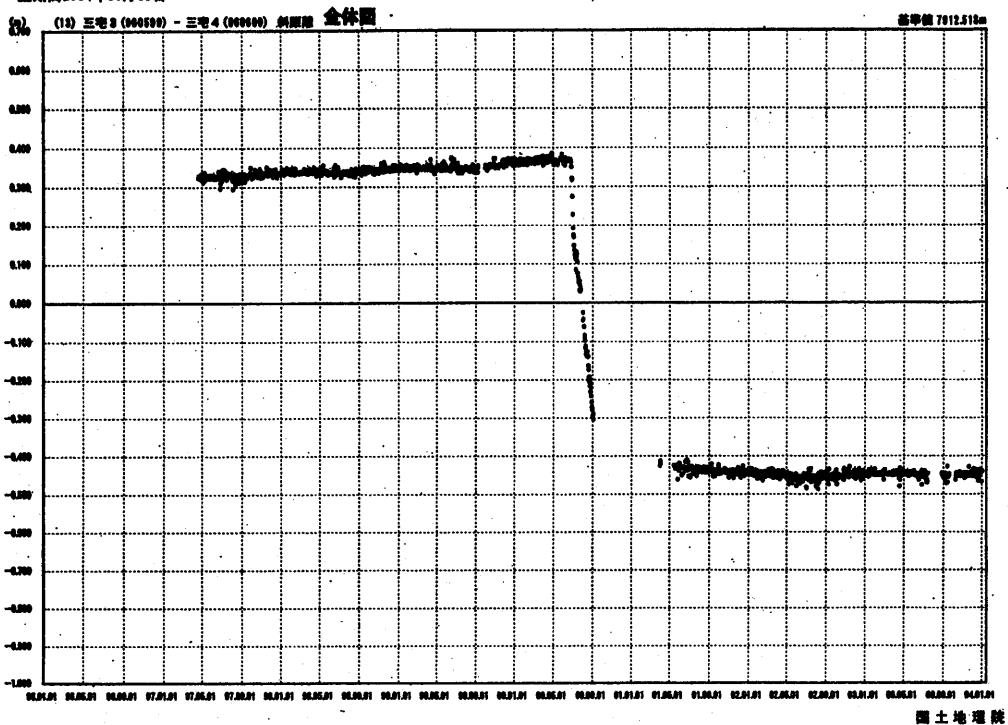


第1-13図 伊豆諸島北部のGPS連続観測結果（1996年1月～2004年1月）

Fig. 1-13 Results of Continuous GPS Measurements in the Northern Part of Izu Islands from January 1996 to January 2004. The lower figure on each page is magnified plots for the post eruptive period (January 2001 – January 2004).

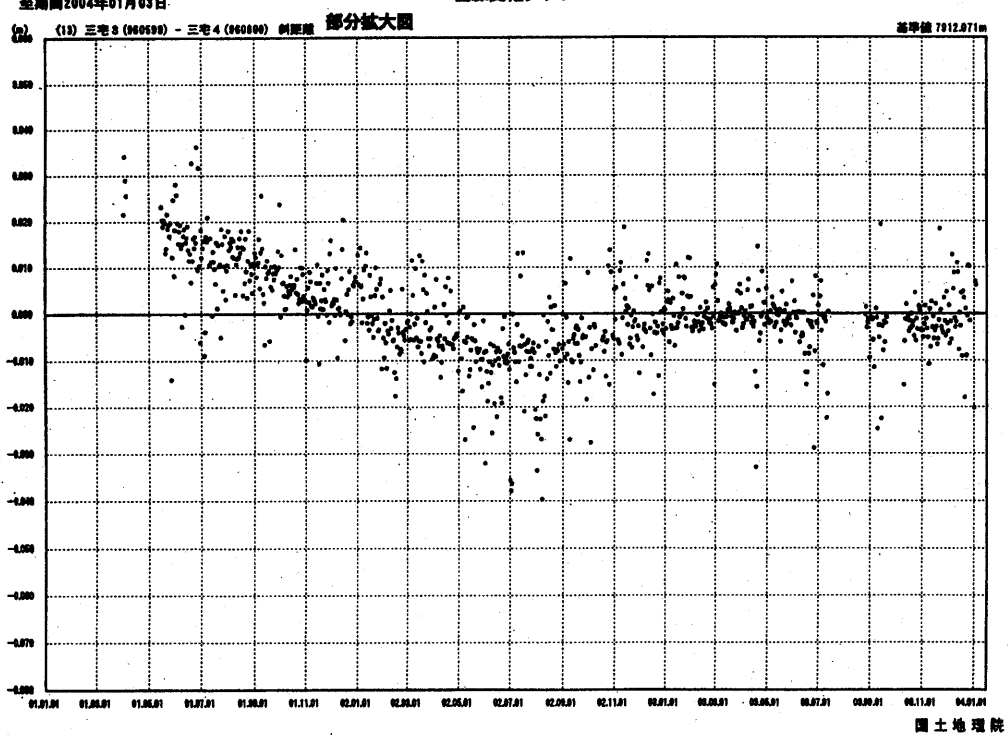
自期間1996年01月01日
至期間2004年01月03日

基線変化グラフ

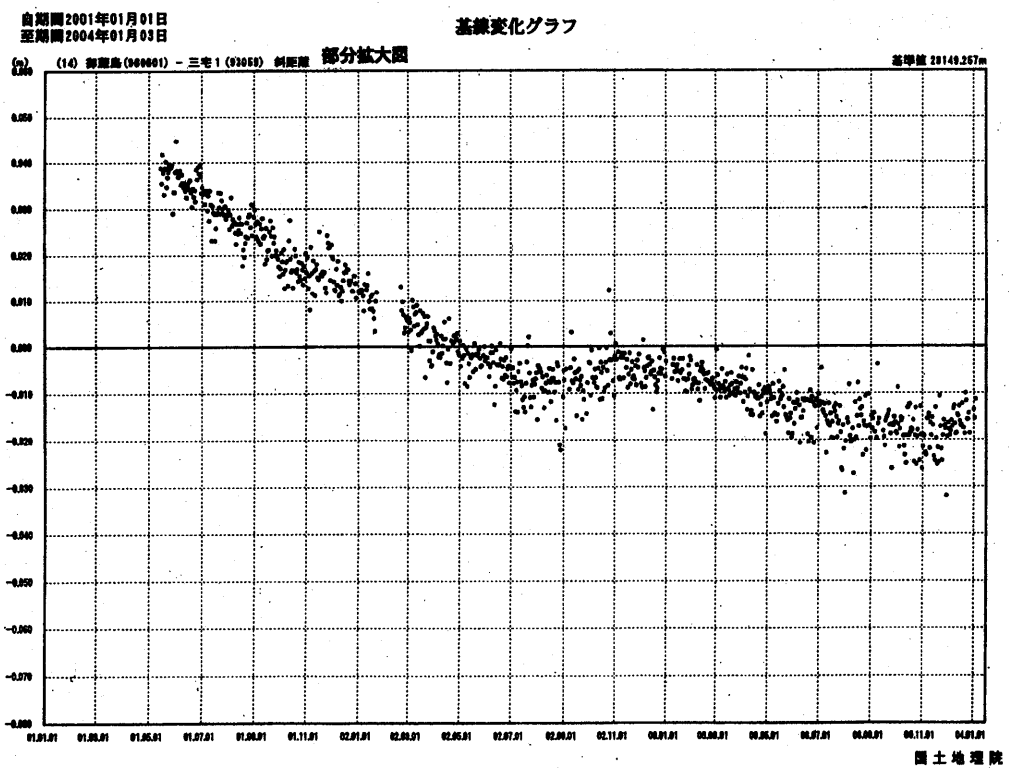
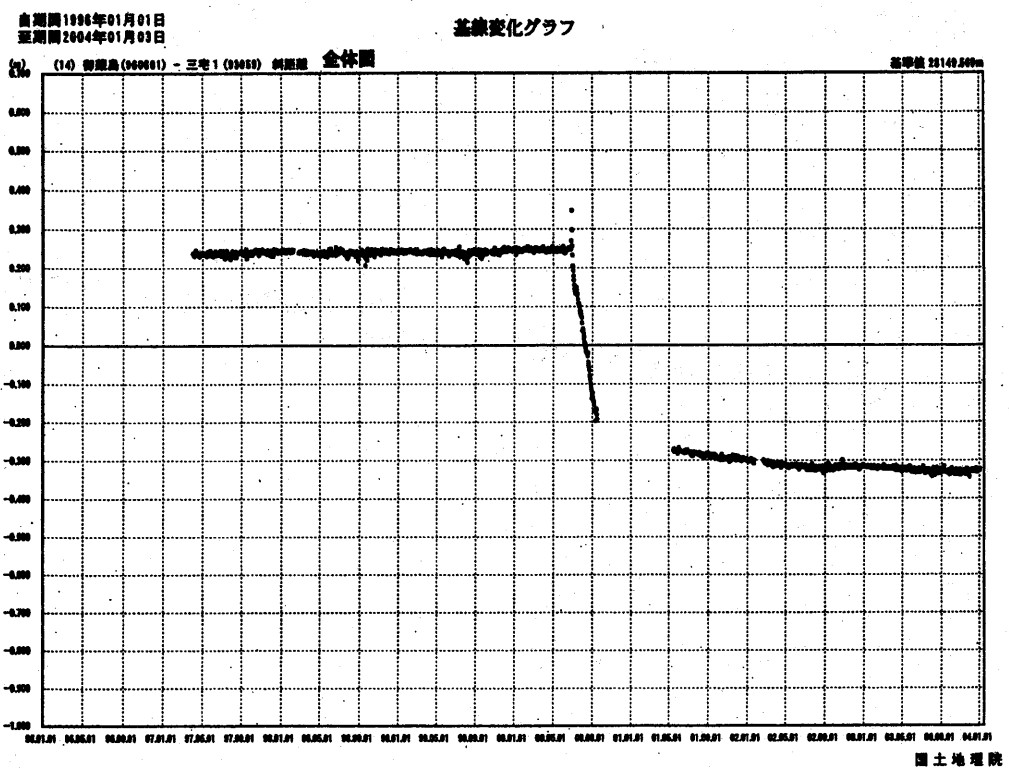


自期間2001年01月01日
至期間2004年01月03日

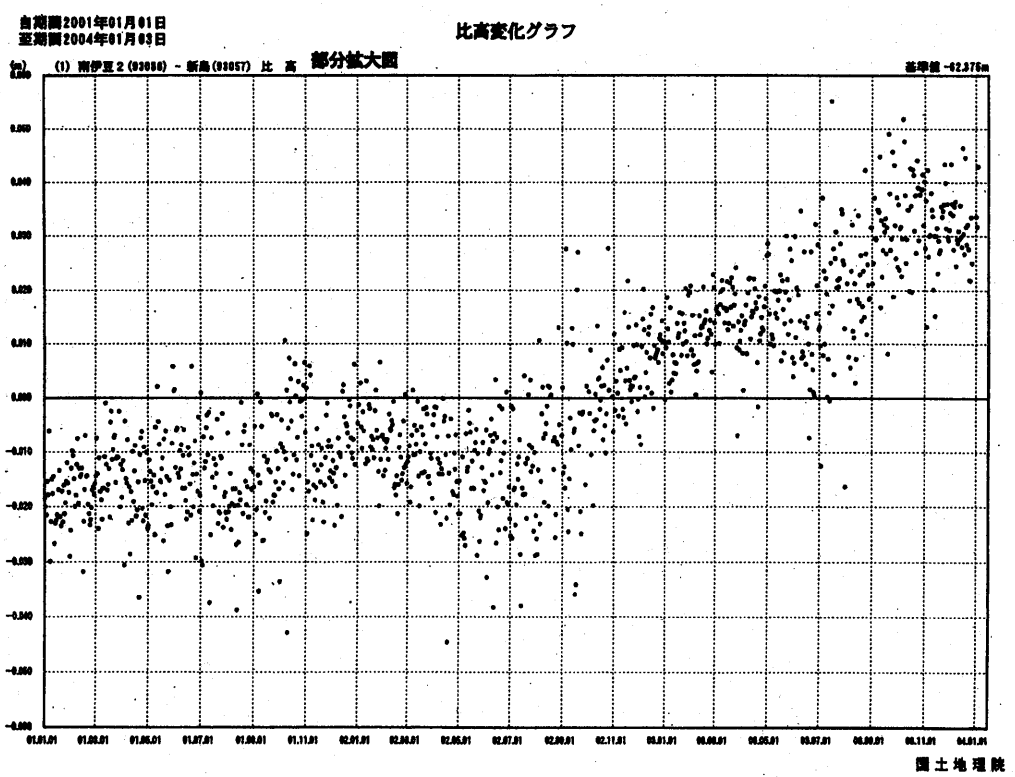
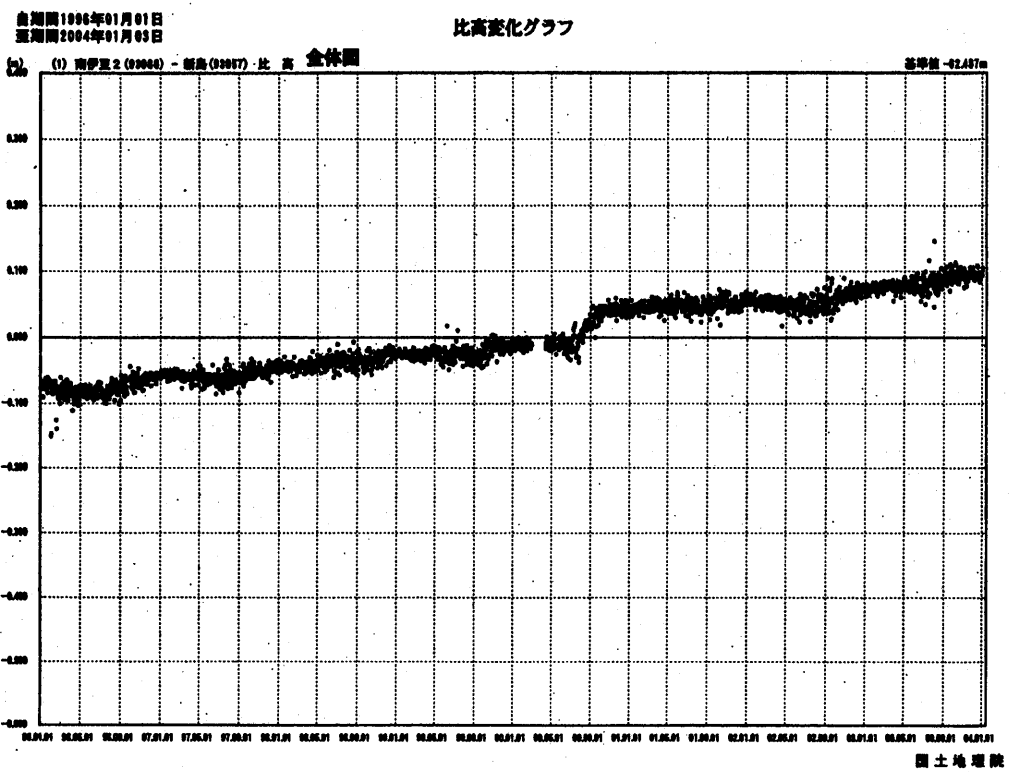
基線変化グラフ



第1-14図 伊豆諸島北部のGPS連続観測結果（1996年1月～2004年1月）
Fig. 1-14 Results of Continuous GPS Measurements in the Northern Part of Izu Islands
from January 1996 to January 2004. The lower figure on each page is magnified
plots for the post eruptive period (January 2001 – January 2004).



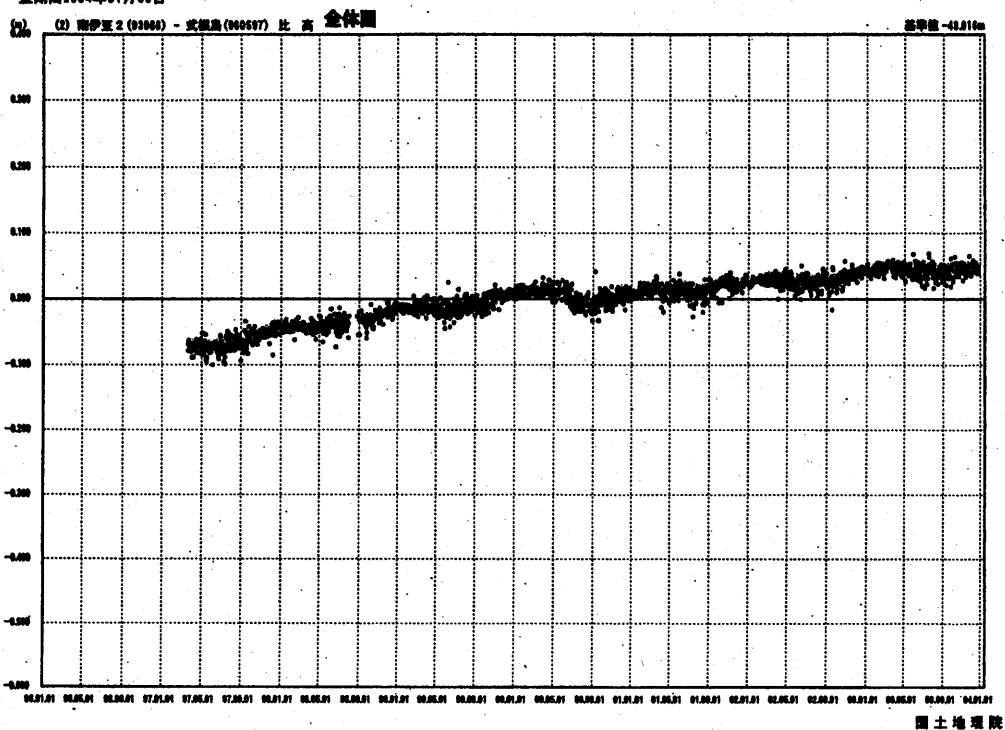
第1-15図 伊豆諸島北部のGPS連続観測結果（1996年1月～2004年1月）
 Fig. 1-15 Results of Continuous GPS Measurements in the Northern Part of Izu Islands
 from January 1996 to January 2004. The lower figure on each page is magnified
 plots for the post eruptive period (January 2001 – January 2004).



第 1-16 図 伊豆諸島北部の GPS 連続観測結果 (1996 年 1 月～2004 年 1 月)
 Fig. 1-16 Results of Continuous GPS Measurements in the Northern Part of Izu Islands
 from January 1996 to January 2004. The lower figure on each page is magnified
 plots for the post eruptive period (January 2001 – January 2004).

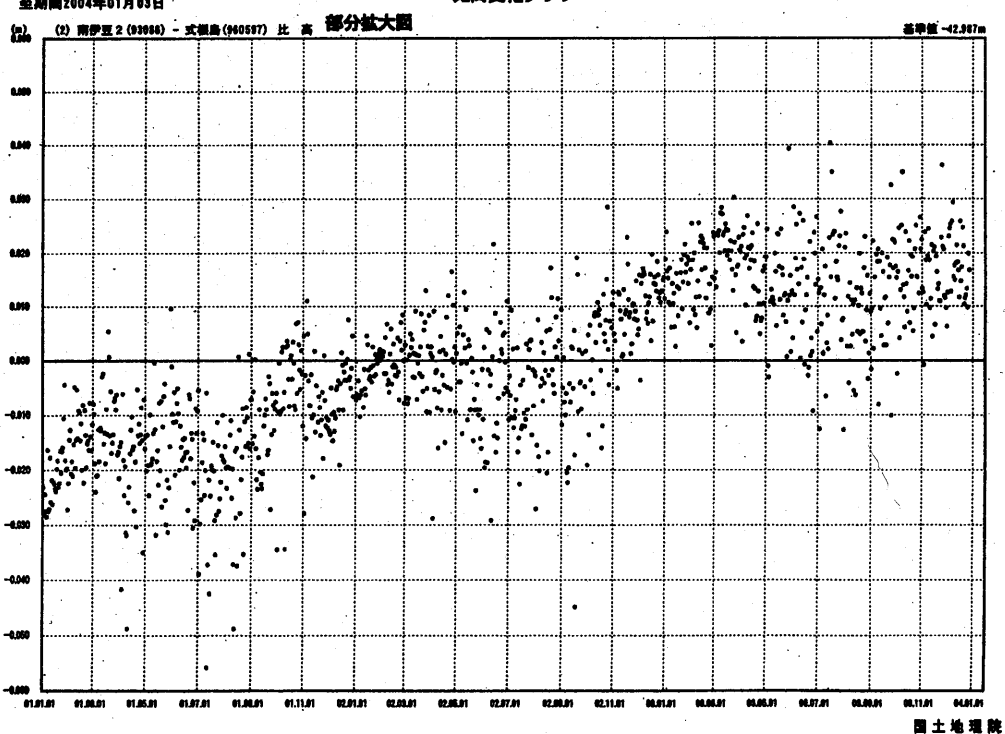
自期間1996年01月01日
至期間2004年01月03日

比高変化グラフ



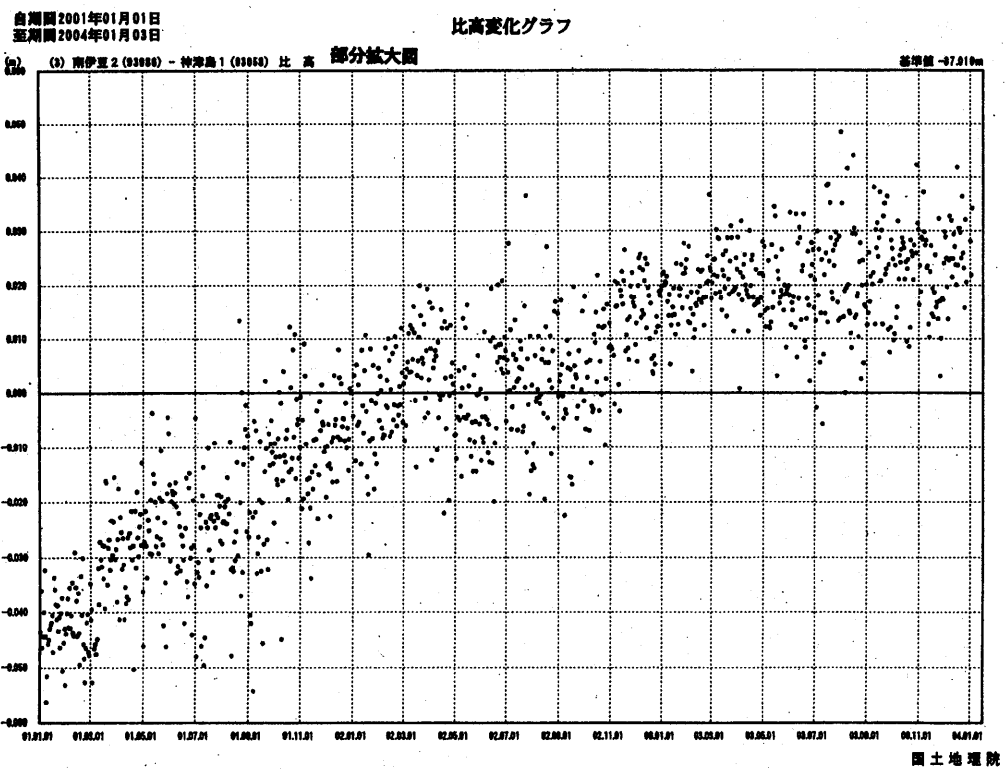
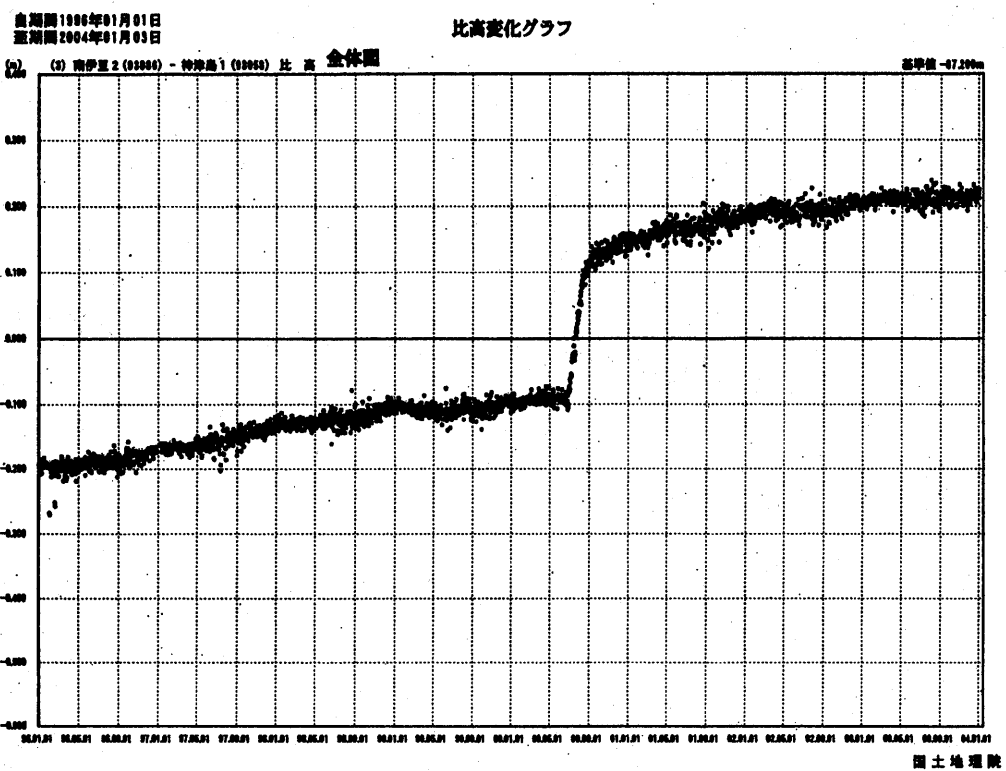
自期間2001年01月01日
至期間2004年01月03日

比高変化グラフ

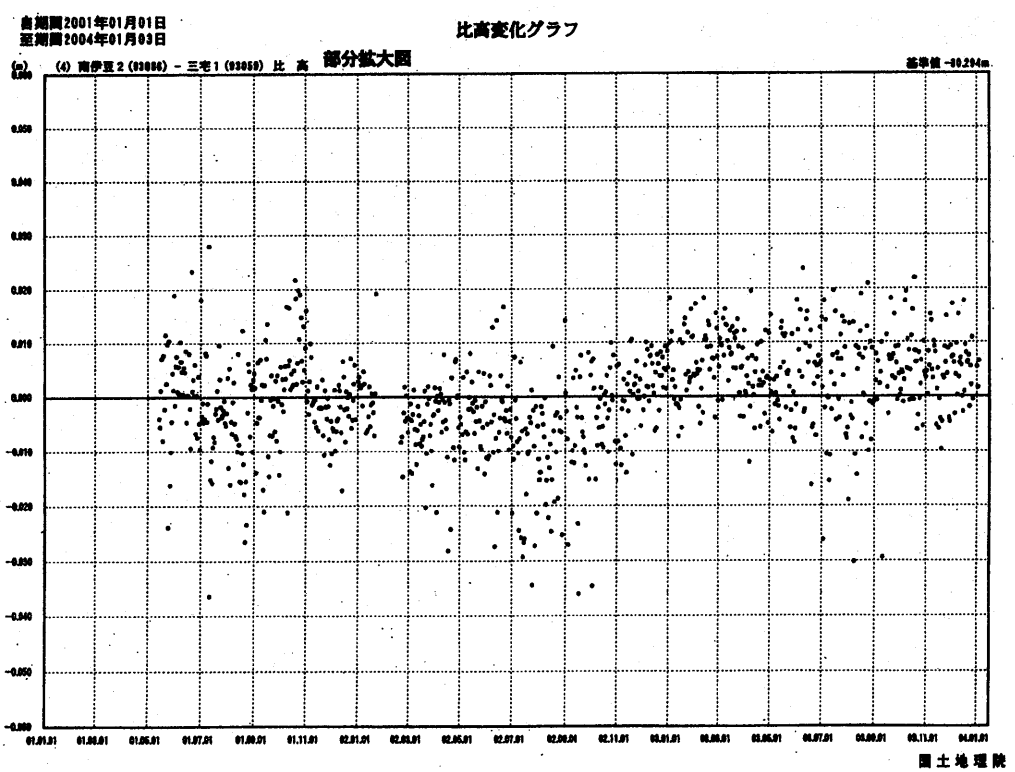
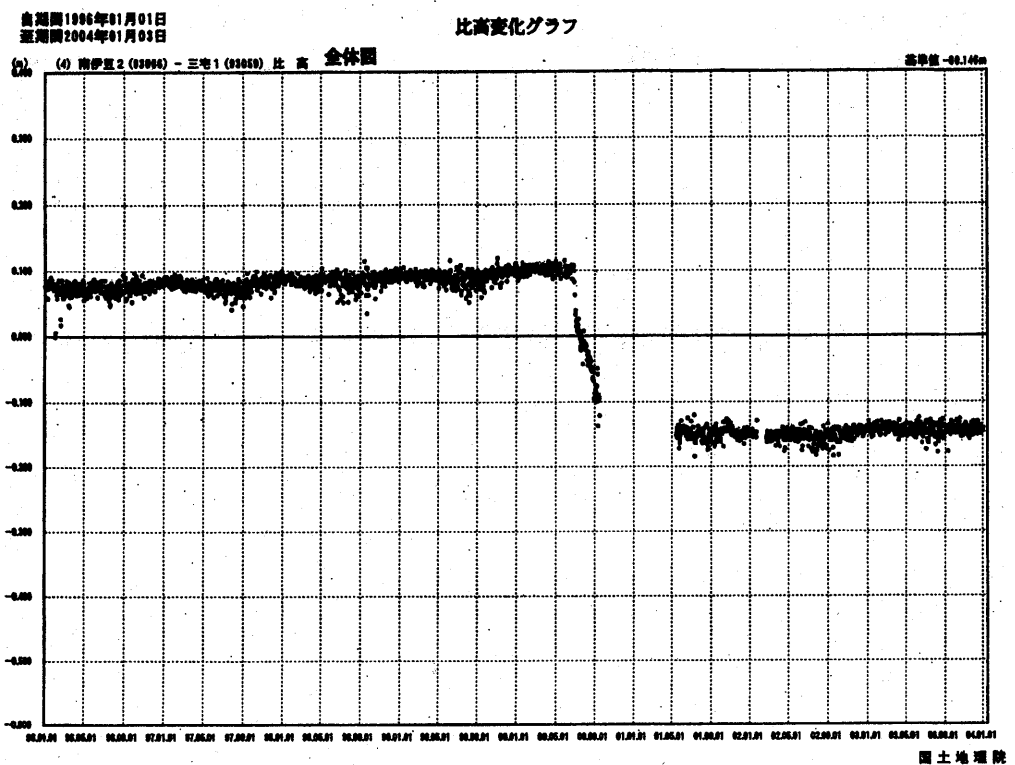


第1-17図 伊豆諸島北部のGPS連続観測結果（1996年1月～2004年1月）

Fig. 1-17 Results of Continuous GPS Measurements in the Northern Part of Izu Islands from January 1996 to January 2004. The lower figure on each page is magnified plots for the post eruptive period (January 2001 – January 2004).



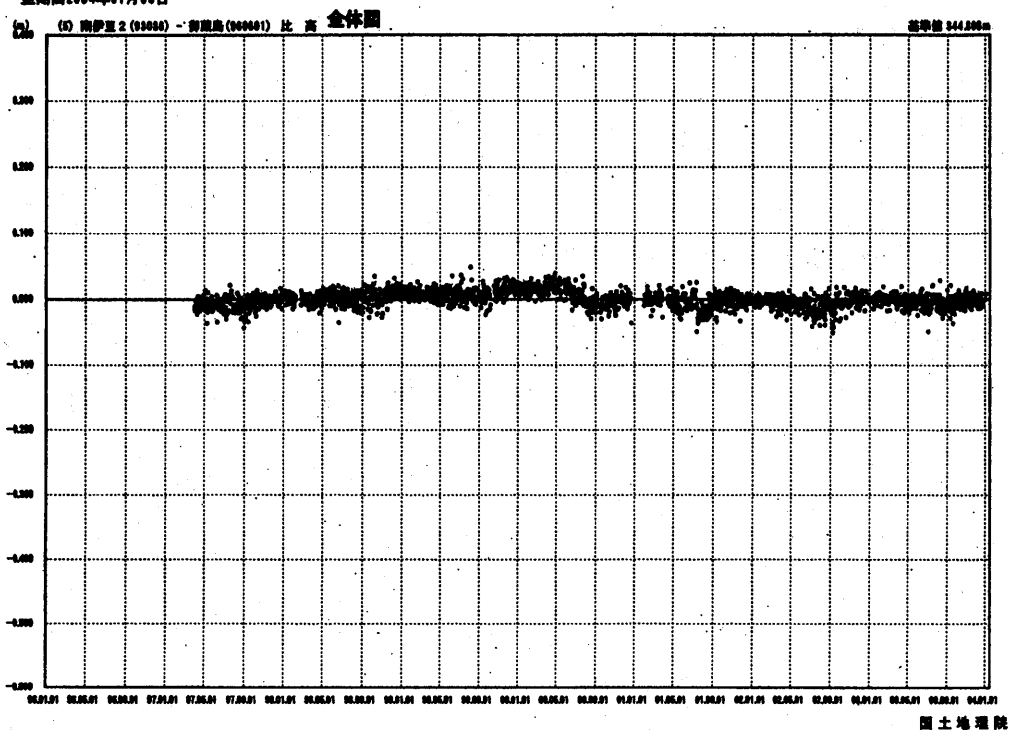
第1-18図 伊豆諸島北部のGPS連続観測結果（1996年1月～2004年1月）
 Fig. 1-18 Results of Continuous GPS Measurements in the Northern Part of Izu Islands
 from January 1996 to January 2004. The lower figure on each page is magnified
 plots for the post eruptive period (January 2001 – January 2004).



第1-19図 伊豆諸島北部のGPS連続観測結果（1996年1月～2004年1月）
 Fig. 1-19 Results of Continuous GPS Measurements in the Northern Part of Izu Islands
 from January 1996 to January 2004. The lower figure on each page is magnified
 plots for the post eruptive period (January 2001 – January 2004).

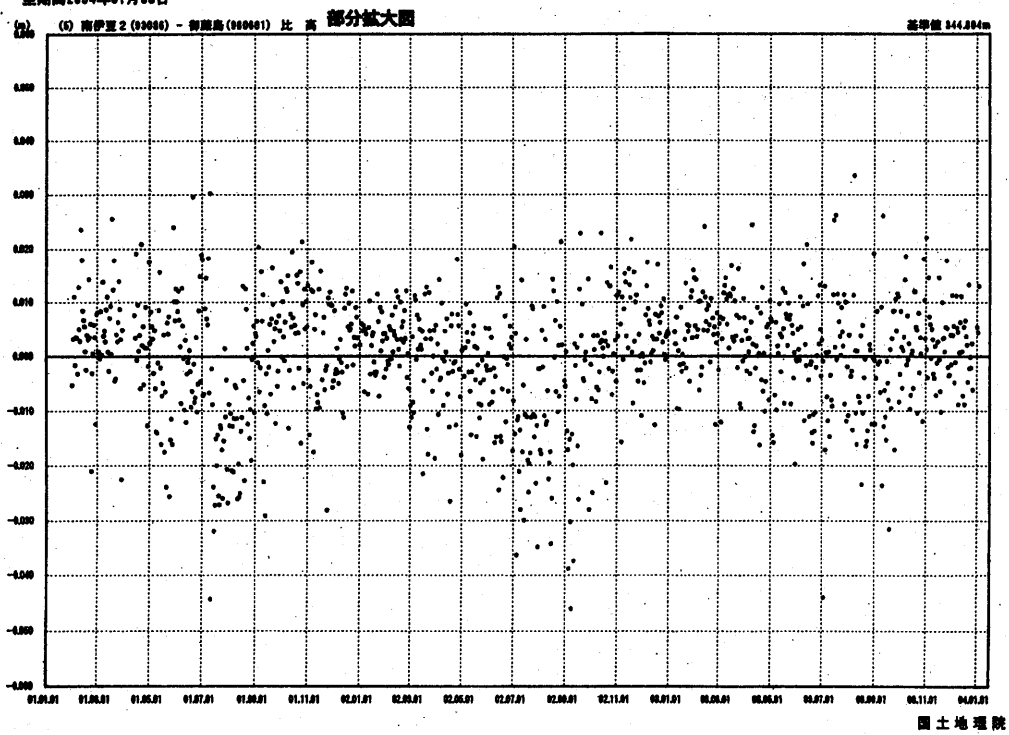
白周期1996年01月01日
黒周期2004年01月03日

比高変化グラフ



白周期2001年01月01日
黒周期2004年01月03日

比高変化グラフ



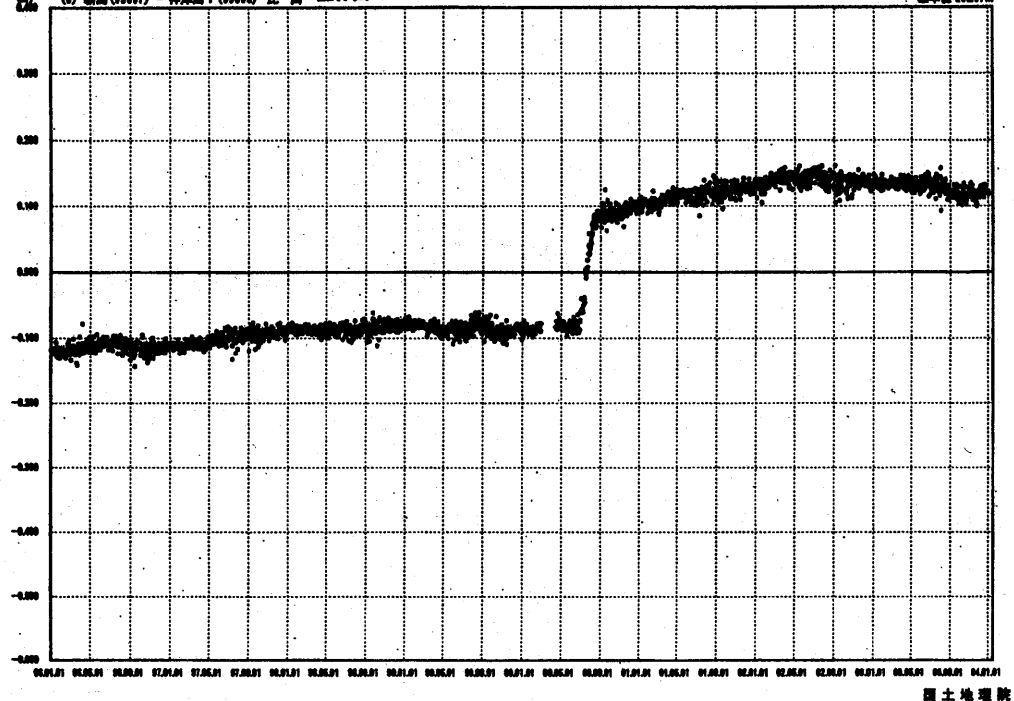
第1-20図 伊豆諸島北部のGPS連続観測結果（1996年1月～2004年1月）
Fig. 1-20 Results of Continuous GPS Measurements in the Northern Part of Izu Islands
from January 1996 to January 2004. The lower figure on each page is magnified
plots for the post eruptive period (January 2001 – January 2004).

自期間1996年01月01日
至期間2004年01月03日

比高変化グラフ

(1) 新島(03057) - 神津島1(03060) 比 高 全体図

基準値 11.277m

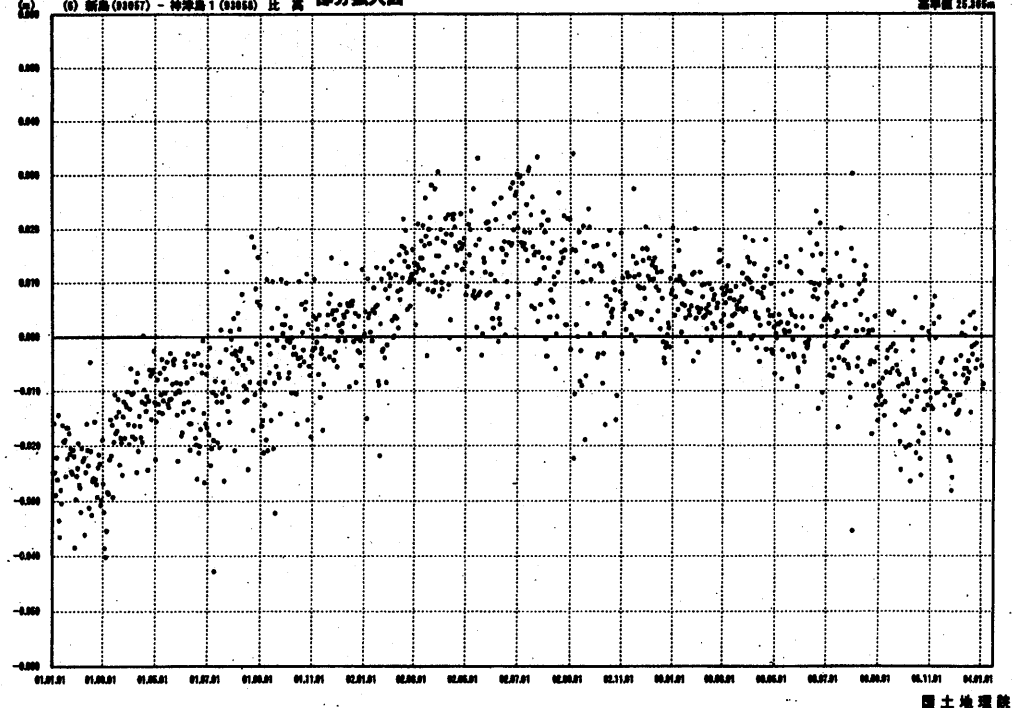


自期間2001年01月01日
至期間2004年01月03日

比高変化グラフ

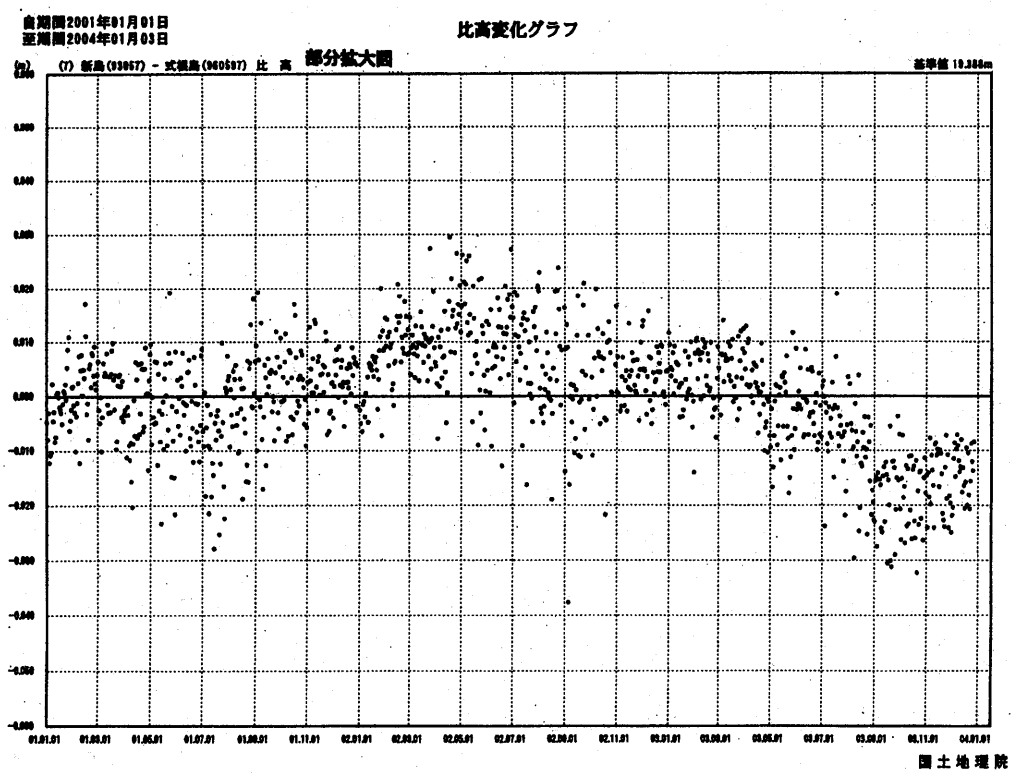
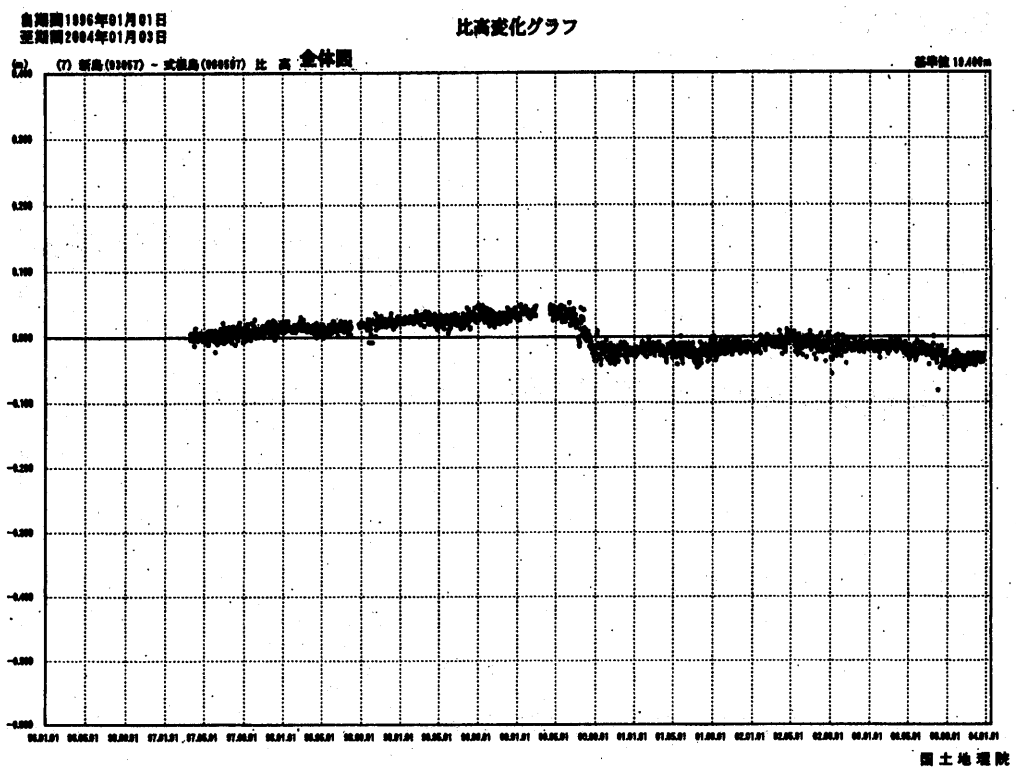
(1) 新島(03057) - 神津島1(03060) 比 高 部分拡大図

基準値 25.305m



第1-21図 伊豆諸島北部のGPS連続観測結果（1996年1月～2004年1月）

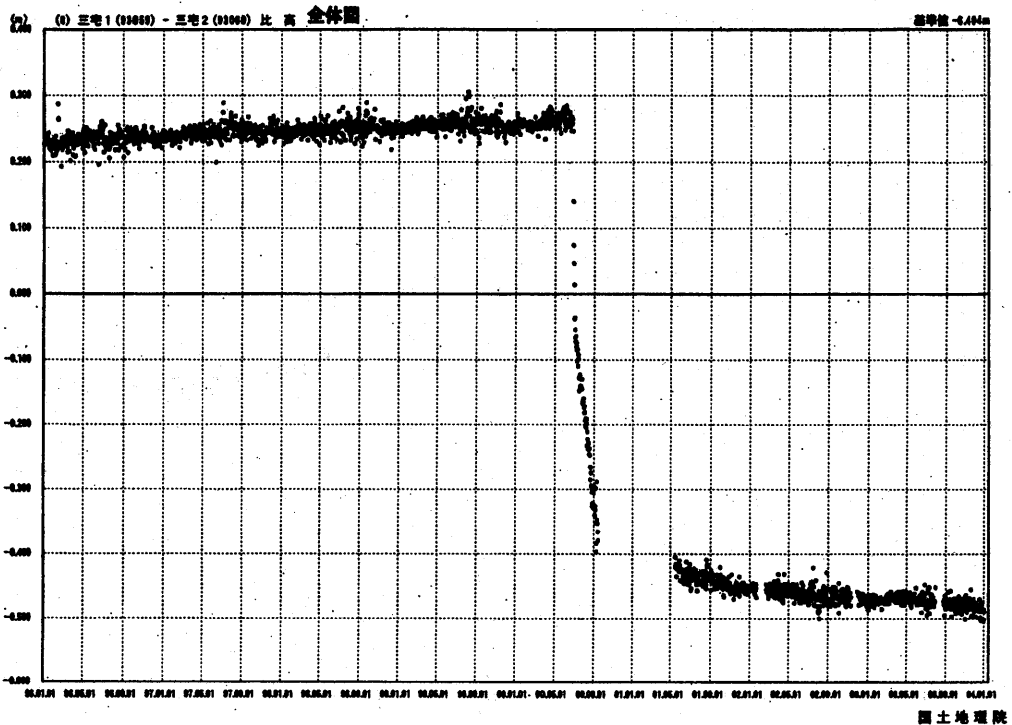
Fig. 1-21 Results of Continuous GPS Measurements in the Northern Part of Izu Islands from January 1996 to January 2004. The lower figure on each page is magnified plots for the post eruptive period (January 2001 – January 2004).



第1-22図 伊豆諸島北部のGPS連続観測結果（1996年1月～2004年1月）
 Fig. 1-22 Results of Continuous GPS Measurements in the Northern Part of Izu Islands
 from January 1996 to January 2004. The lower figure on each page is magnified
 plots for the post eruptive period (January 2001 – January 2004).

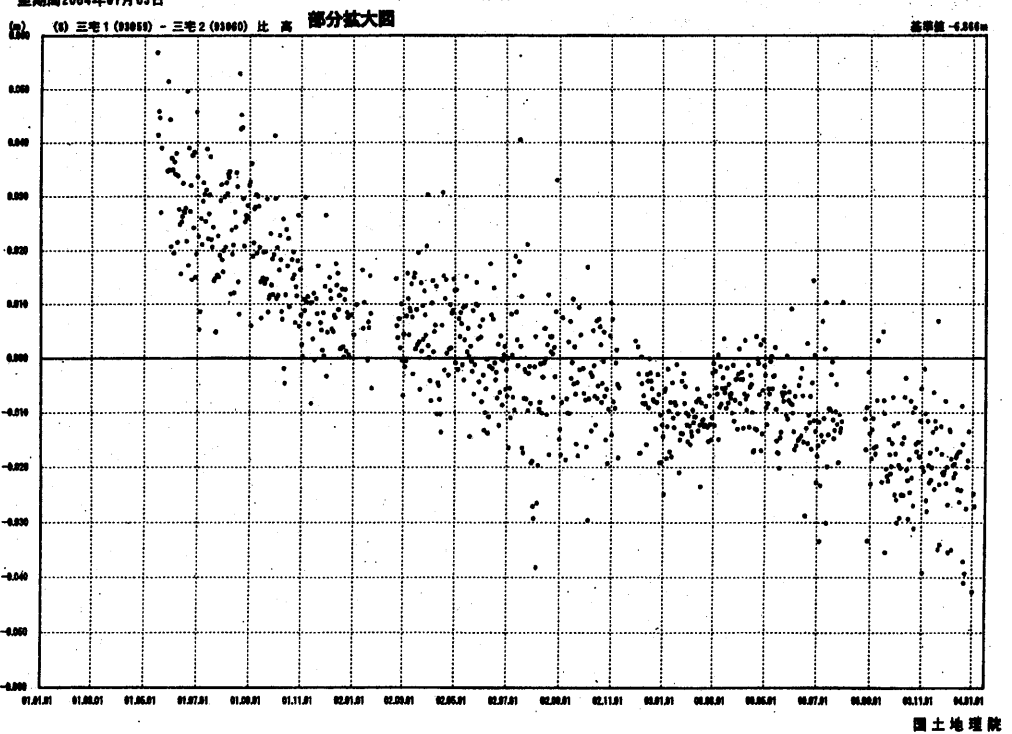
自期間1996年01月01日
至期間2004年01月03日

比高変化グラフ



自期間2001年01月01日
至期間2004年01月03日

比高変化グラフ

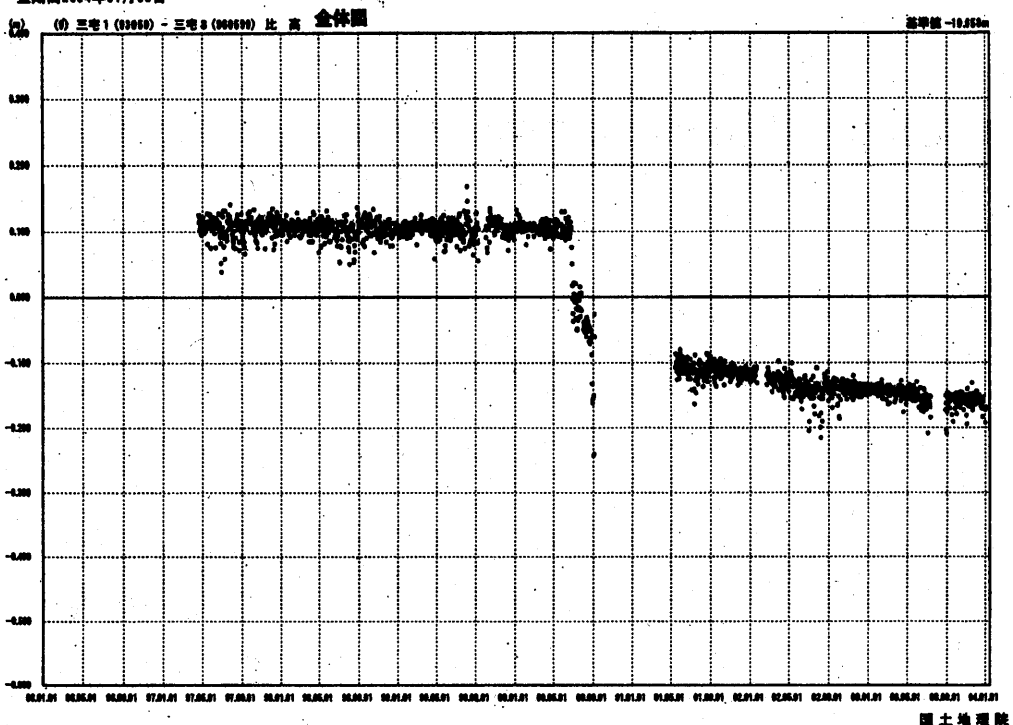


第1-23図 伊豆諸島北部のGPS連続観測結果（1996年1月～2004年1月）

Fig. 1-23 Results of Continuous GPS Measurements in the Northern Part of Izu Islands from January 1996 to January 2004. The lower figure on each page is magnified plots for the post eruptive period (January 2001 – January 2004).

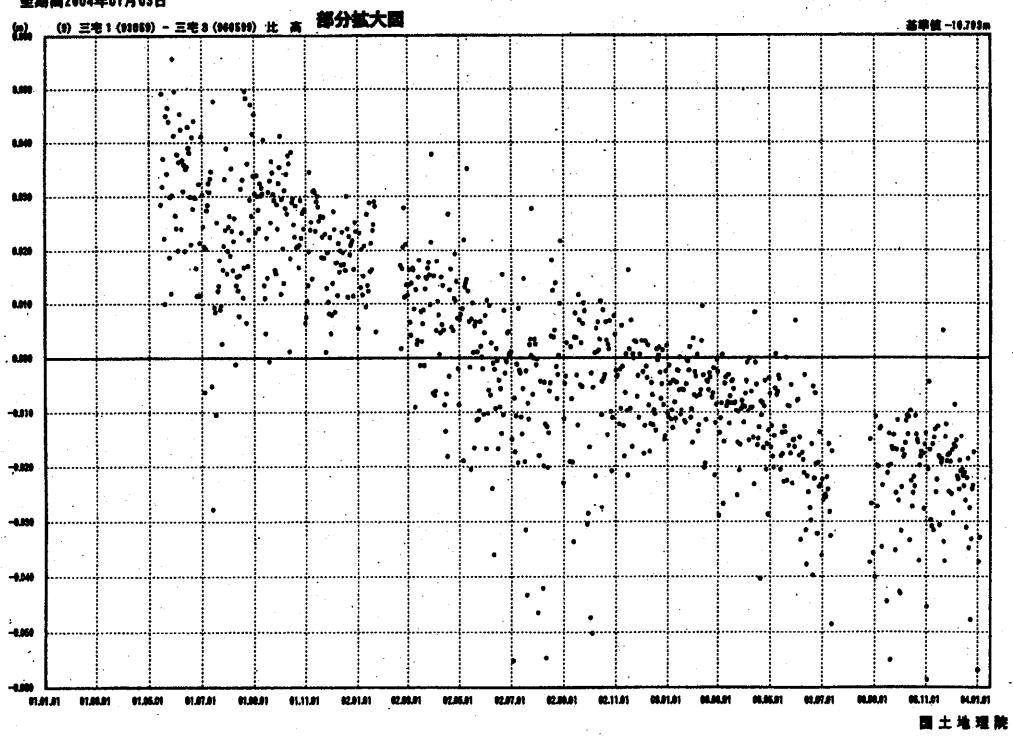
自期間2003年01月01日
至期間2004年01月03日

比高変化グラフ



自期間2001年01月01日
至期間2004年01月03日

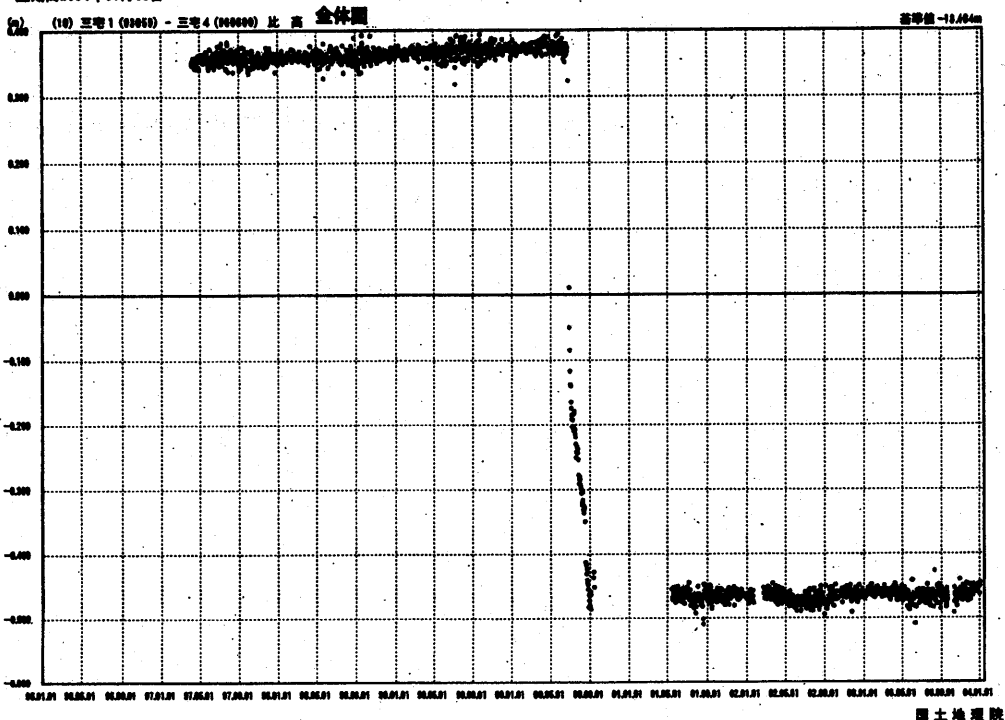
比高変化グラフ



第1-24図 伊豆諸島北部のGPS連続観測結果（1996年1月～2004年1月）
Fig. 1-24 Results of Continuous GPS Measurements in the Northern Part of Izu Islands
from January 1996 to January 2004. The lower figure on each page is magnified
plots for the post eruptive period (January 2001 – January 2004).

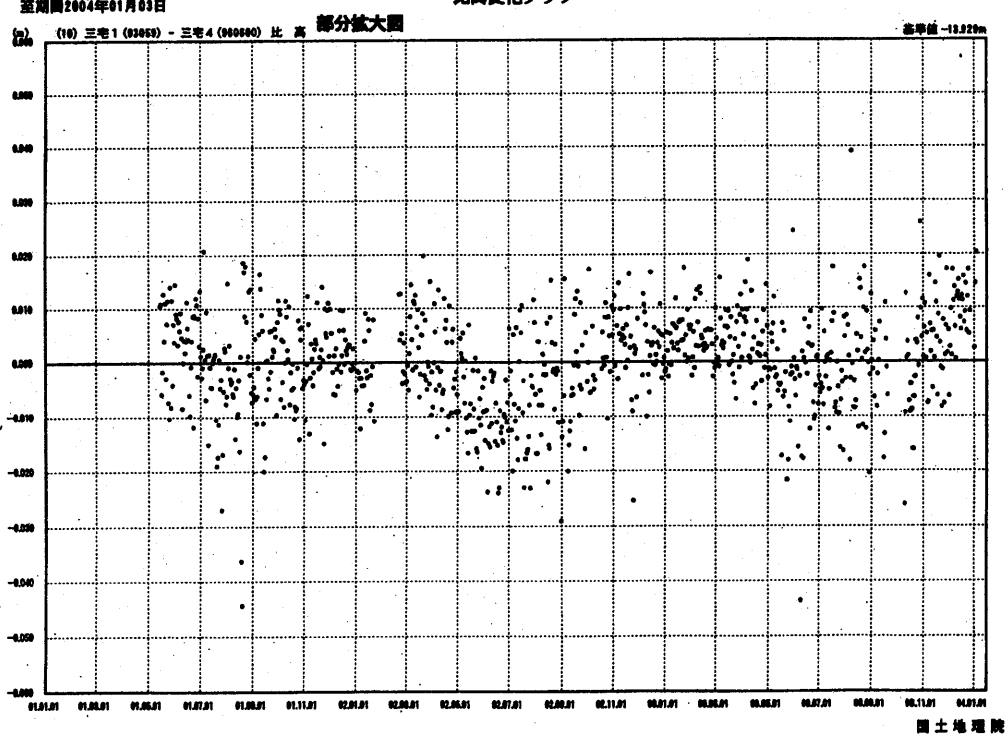
自期間1996年01月01日
至期間2004年01月03日

比高変化グラフ



自期間2001年01月01日
至期間2004年01月03日

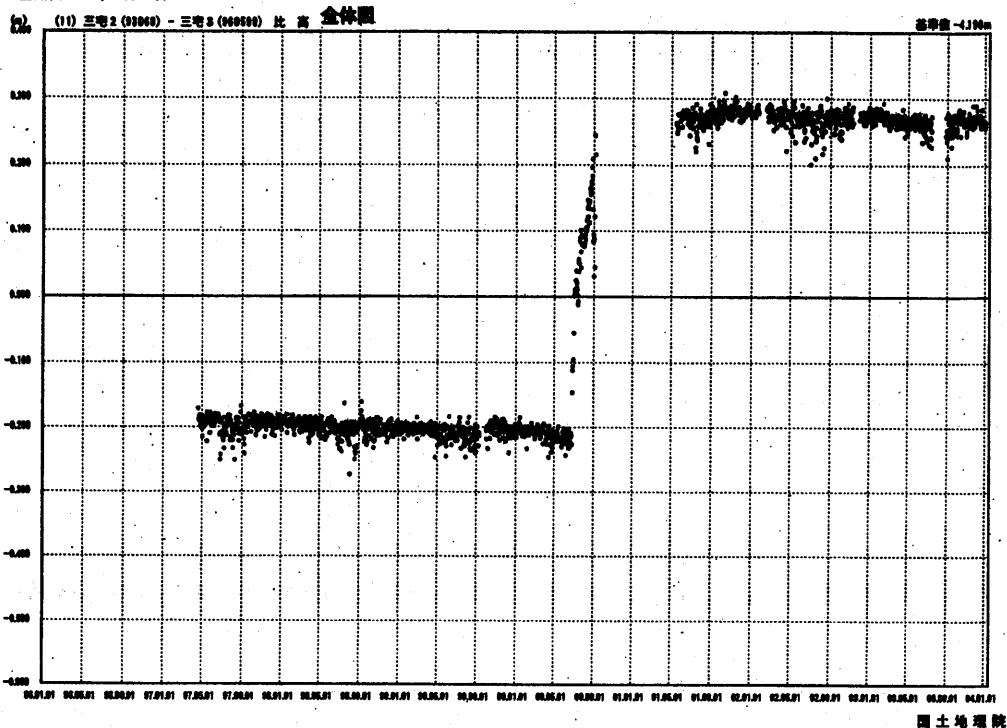
比高変化グラフ



第1-25図 伊豆諸島北部のGPS連続観測結果（1996年1月～2004年1月）
Fig. 1-25 Results of Continuous GPS Measurements in the Northern Part of Izu Islands
from January 1996 to January 2004. The lower figure on each page is magnified
plots for the post eruptive period (January 2001 – January 2004).

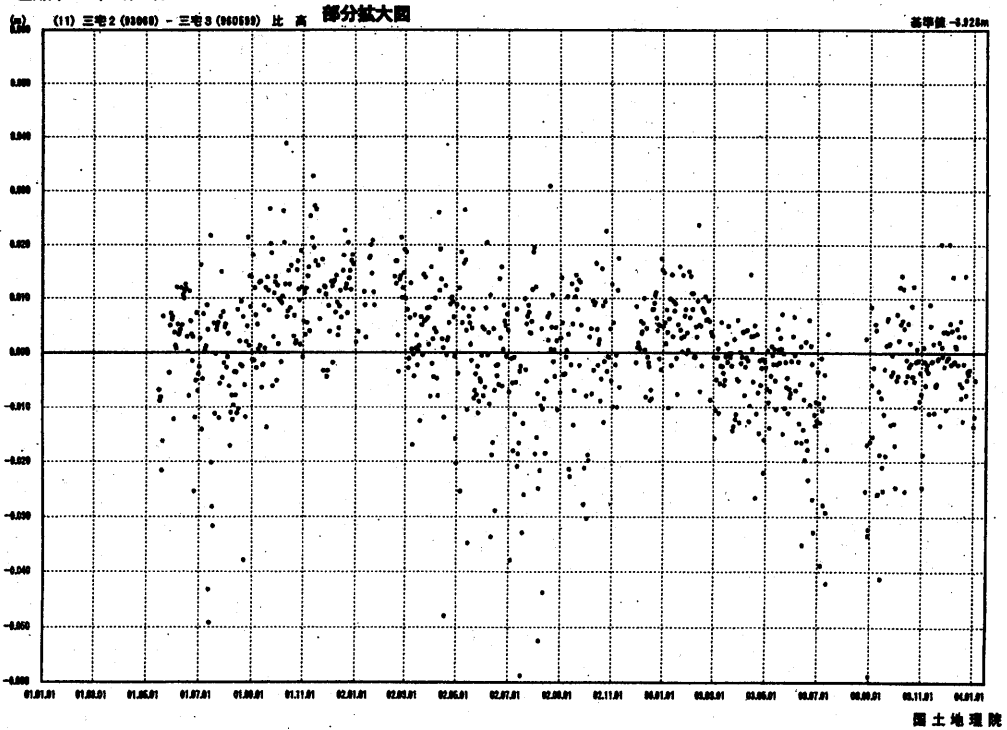
自期間1996年01月01日
至期間2004年01月03日

比高変化グラフ



自期間2001年01月01日
至期間2004年01月03日

比高変化グラフ

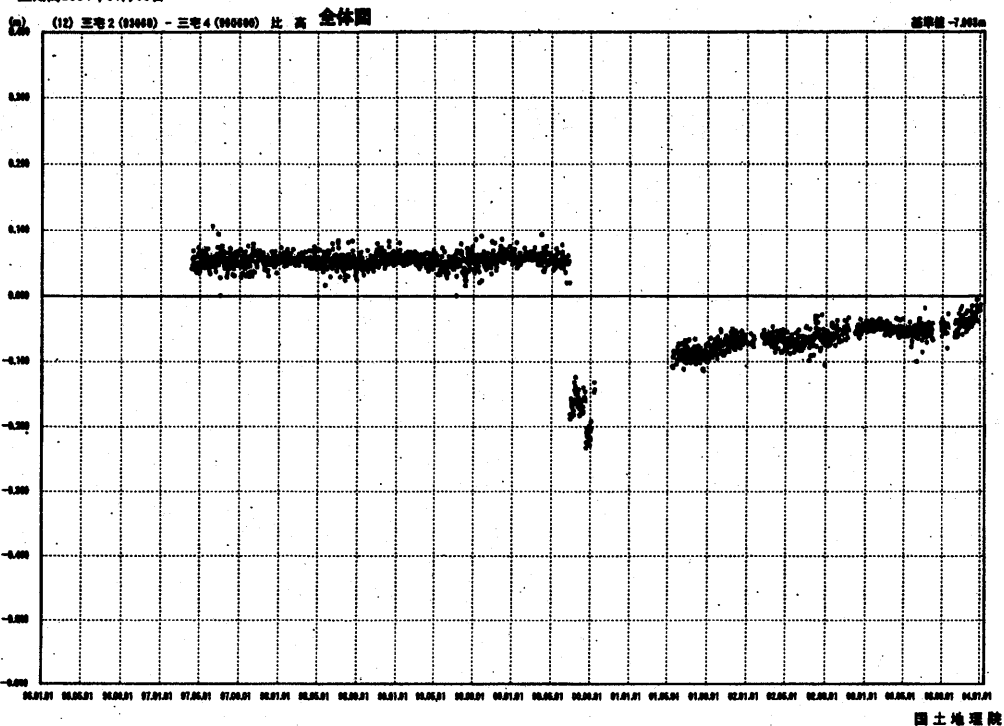


第1-26図 伊豆諸島北部のGPS連続観測結果（1996年1月～2004年1月）

Fig. 1-26 Results of Continuous GPS Measurements in the Northern Part of Izu Islands from January 1996 to January 2004. The lower figure on each page is magnified plots for the post eruptive period (January 2001 – January 2004).

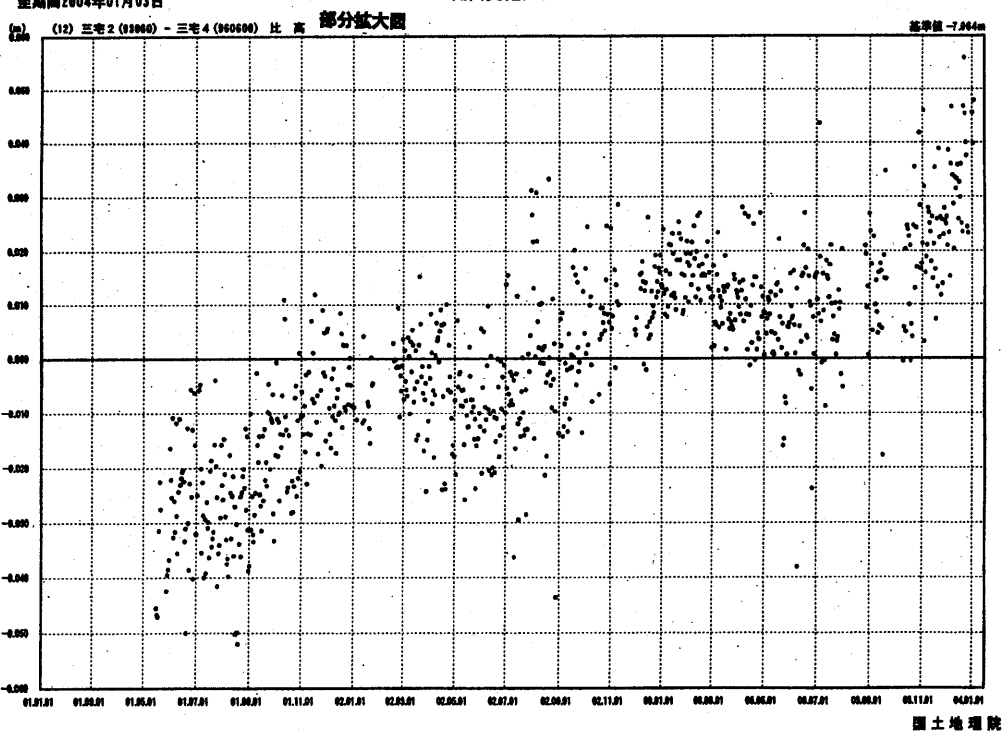
自期間1996年01月01日
至期間2004年01月03日

比高変化グラフ



自期間2001年01月01日
至期間2004年01月03日

比高変化グラフ

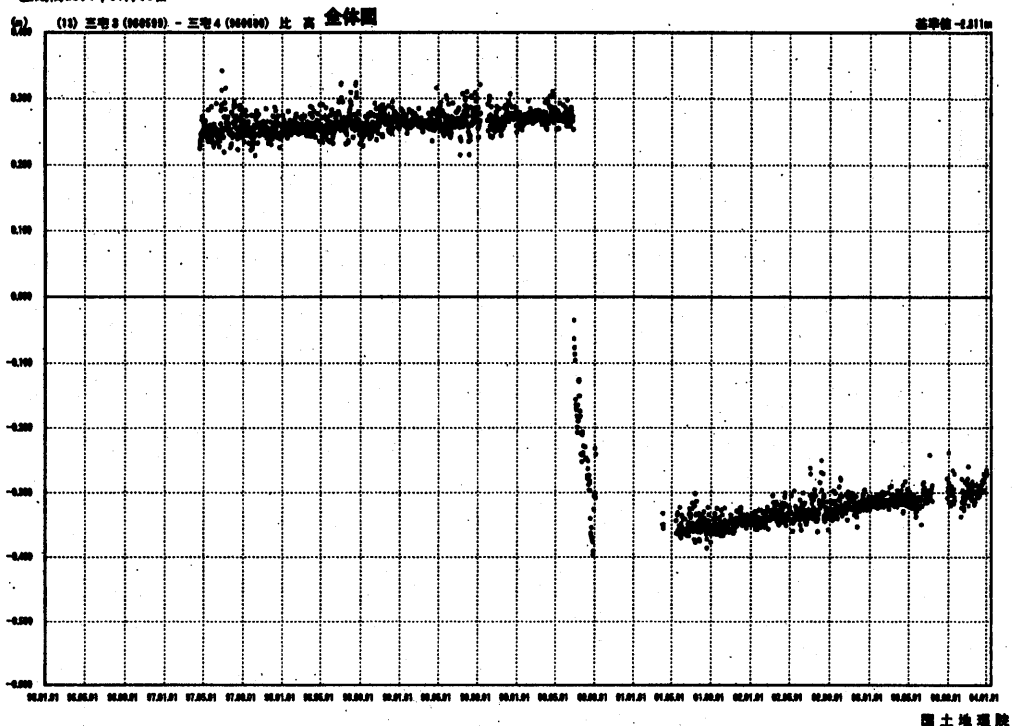


第1-27図 伊豆諸島北部のGPS連続観測結果（1996年1月～2004年1月）

Fig. 1-27 Results of Continuous GPS Measurements in the Northern Part of Izu Islands from January 1996 to January 2004. The lower figure on each page is magnified plots for the post eruptive period (January 2001 – January 2004).

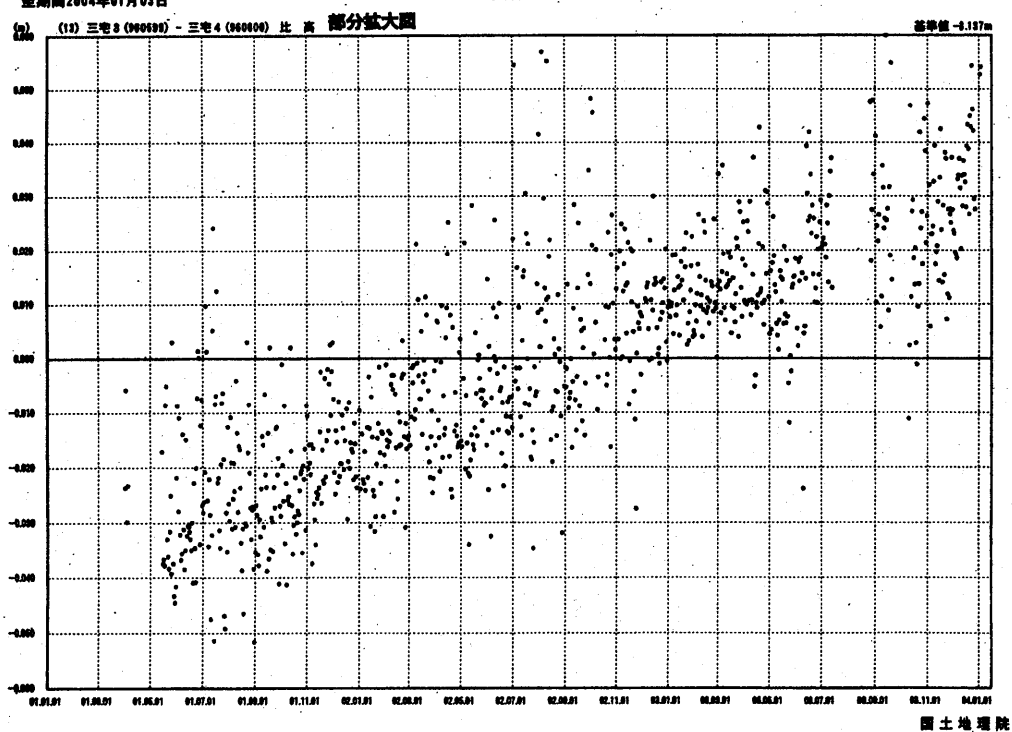
自期間1996年01月01日
至期間2004年01月03日

比高変化グラフ



自期間2001年01月01日
至期間2004年01月03日

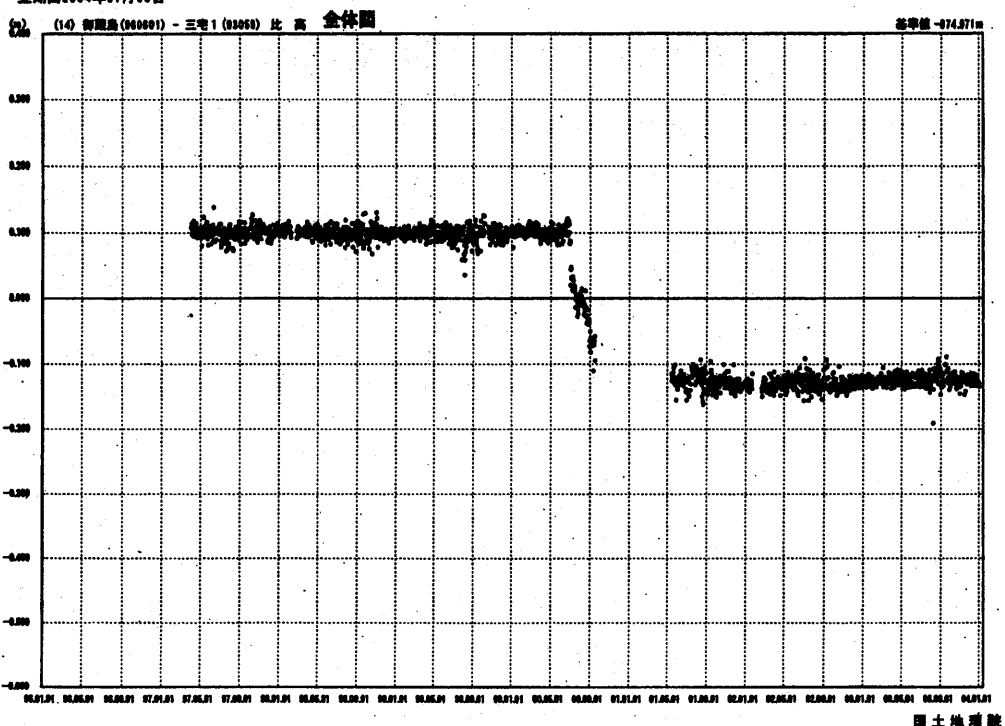
比高変化グラフ



第1-28図 伊豆諸島北部のGPS連続観測結果（1996年1月～2004年1月）
Fig. 1-28 Results of Continuous GPS Measurements in the Northern Part of Izu Islands
from January 1996 to January 2004. The lower figure on each page is magnified
plots for the post eruptive period (January 2001 – January 2004).

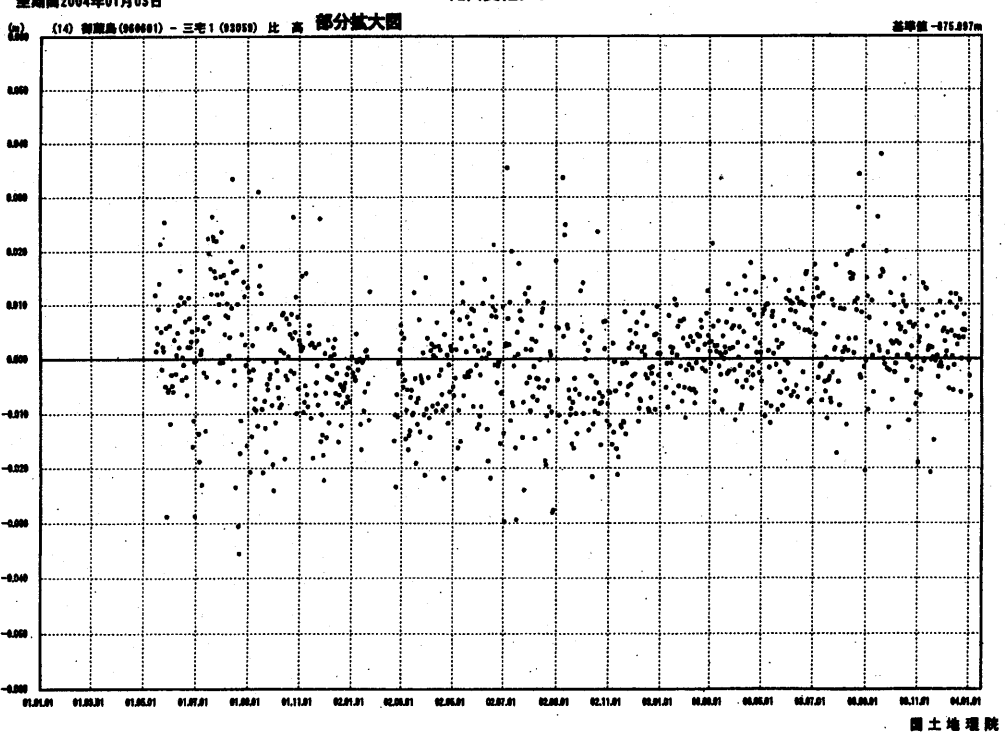
自期間1996年01月01日
至期間2004年01月03日

比高変化グラフ



自期間2001年01月01日
至期間2004年01月03日

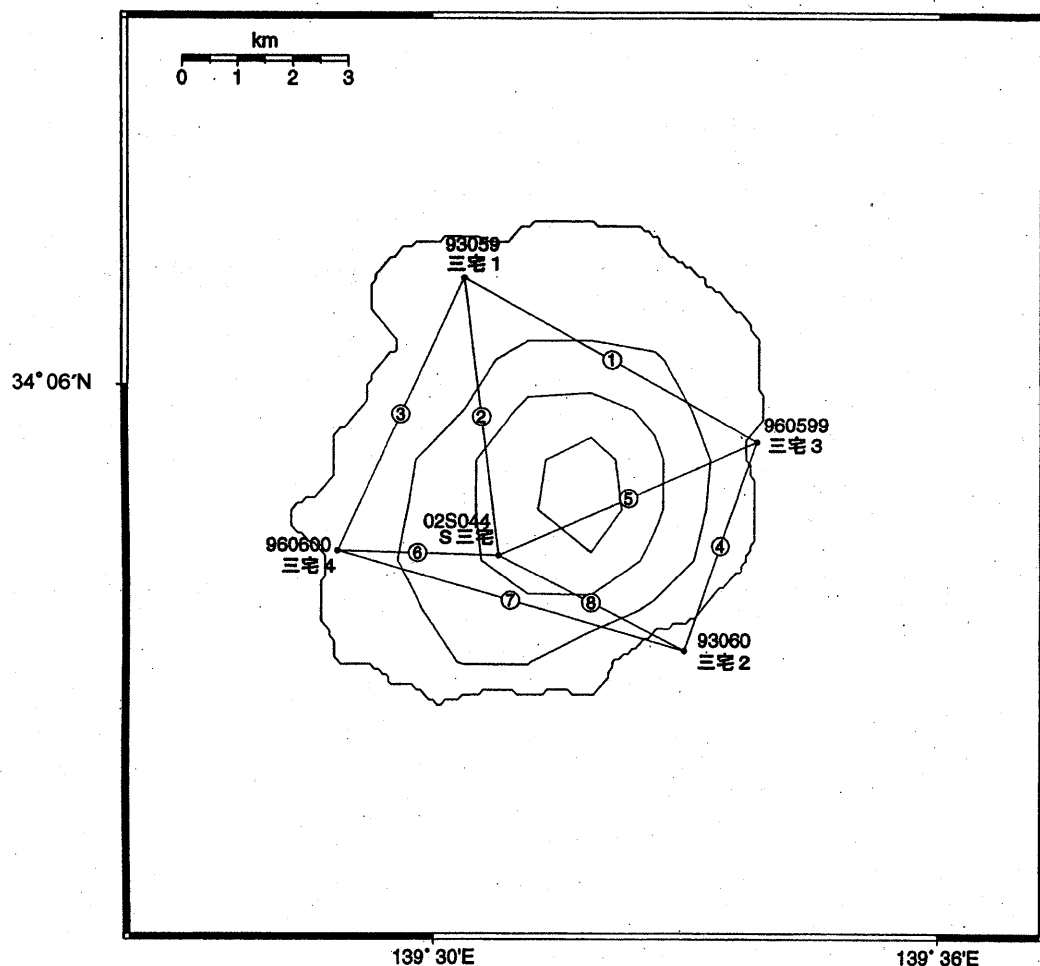
比高変化グラフ



第1-29図 伊豆諸島北部のGPS連続観測結果（1996年1月～2004年1月）

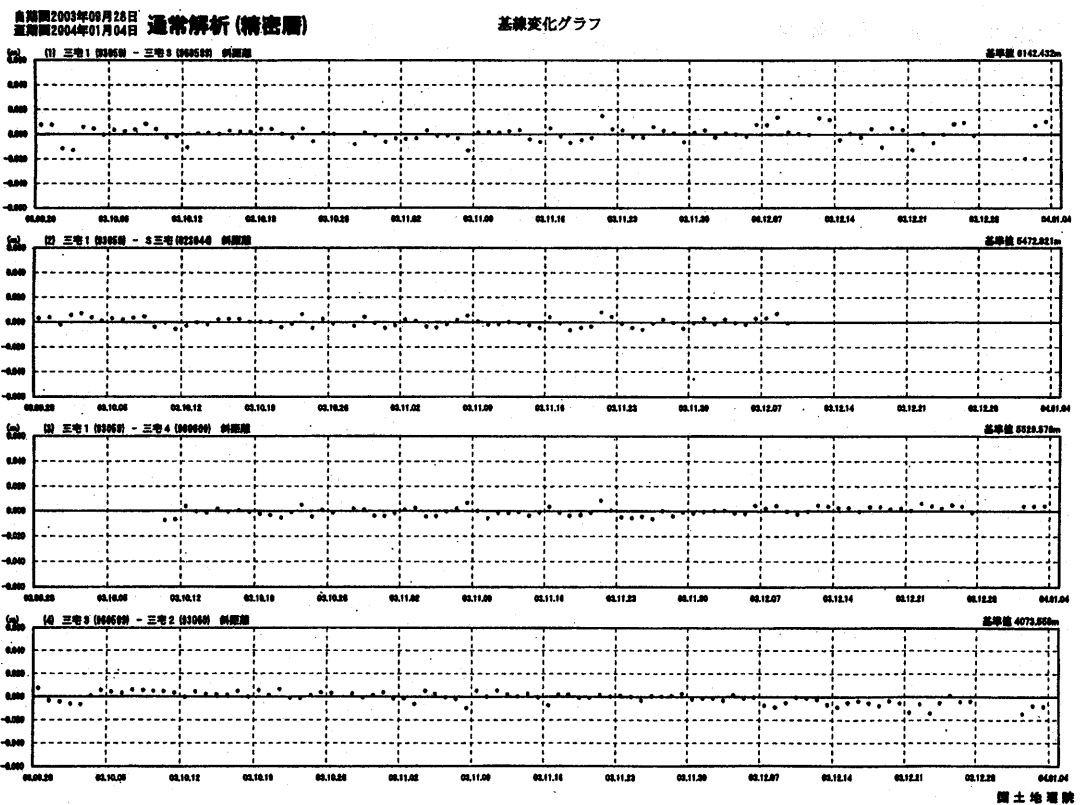
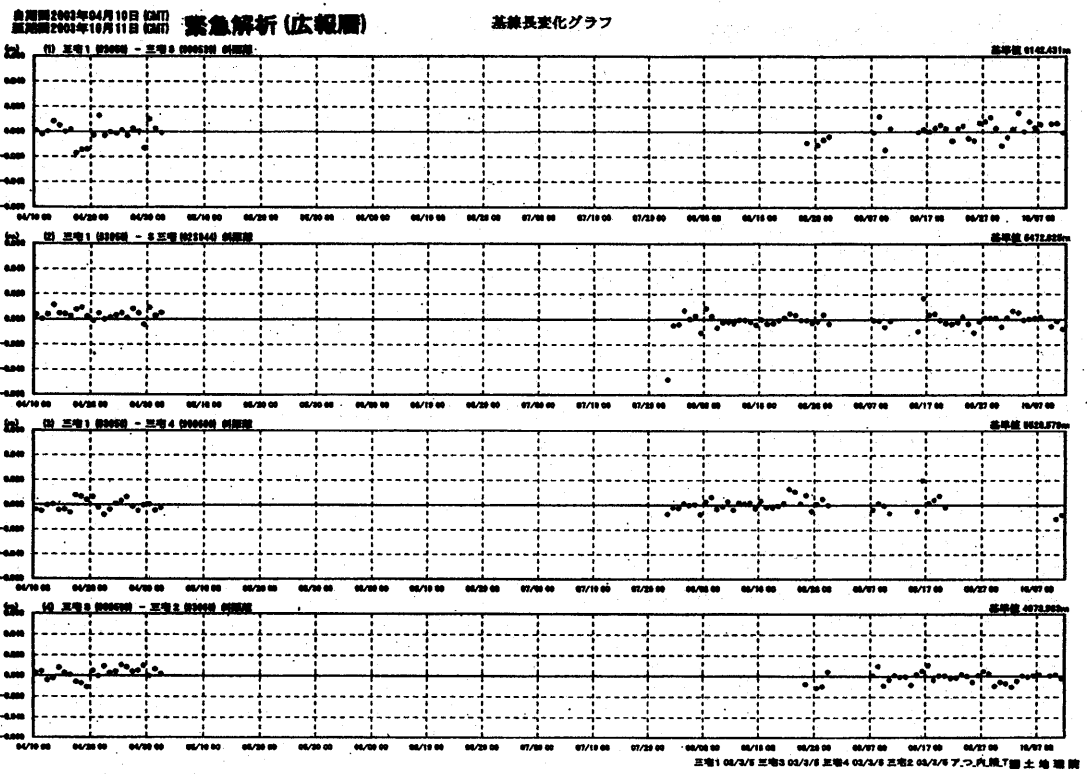
Fig. 1-29 Results of Continuous GPS Measurements in the Northern Part of Izu Islands from January 1996 to January 2004. The lower figure on each page is magnified plots for the post eruptive period (January 2001 – January 2004).

三宅島島内 GPS 連続観測基線図



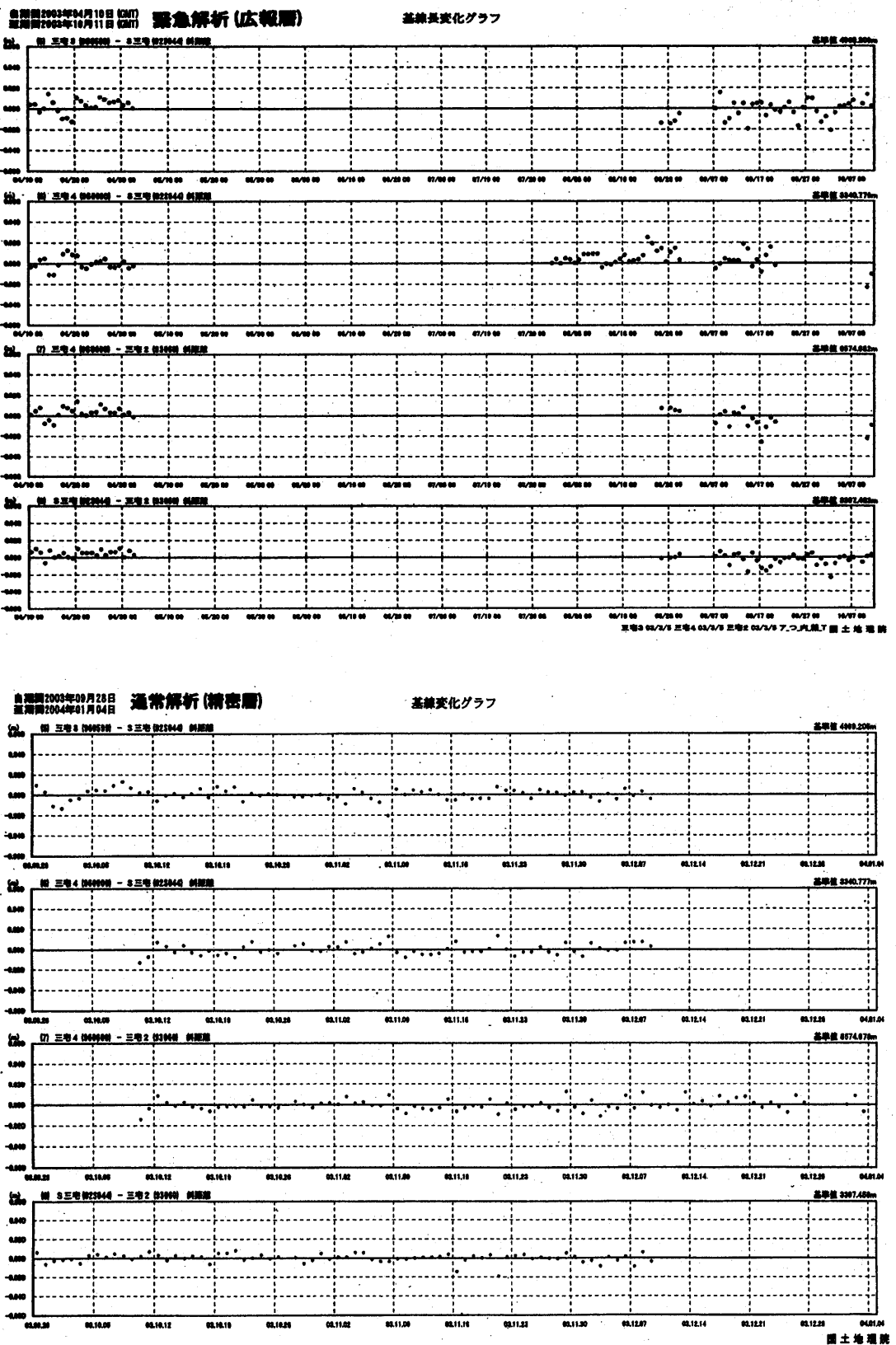
第2-1図 三宅島島内GPS連続観測結果（2003年9月～2004年1月）

Fig. 2-1 Change of Horizontal Strain Distribution of the Miyakejima Island Derived from Continuous GPS Measurements Data.



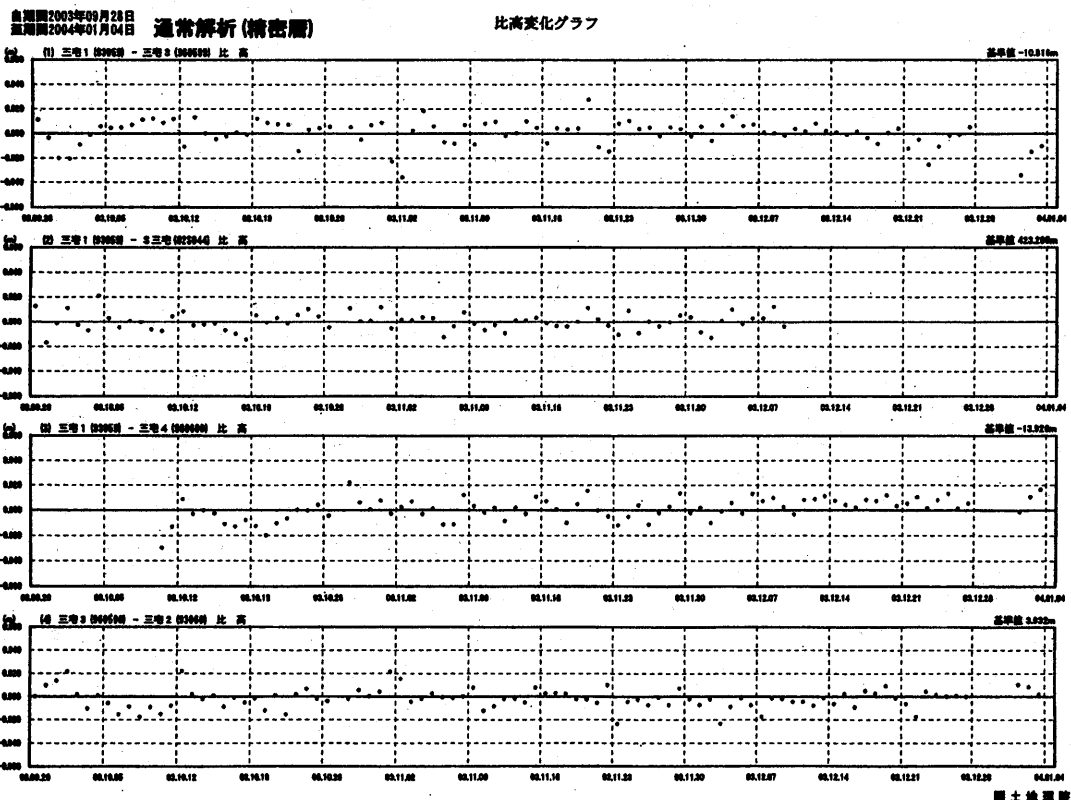
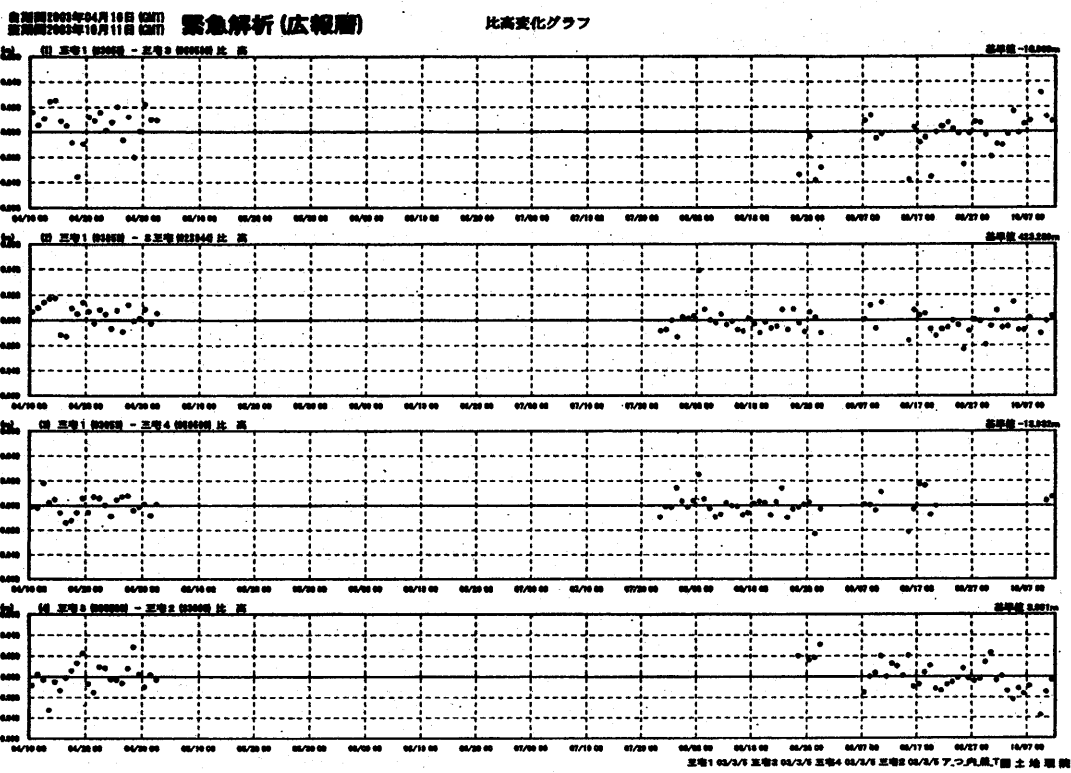
第2-2図 三宅島島内GPS連続観測結果(2003年9月～2004年1月)

Fig. 2-2 Change of Horizontal Strain Distribution of the Miyakejima Island Derived from Continuous GPS Measurements Data.



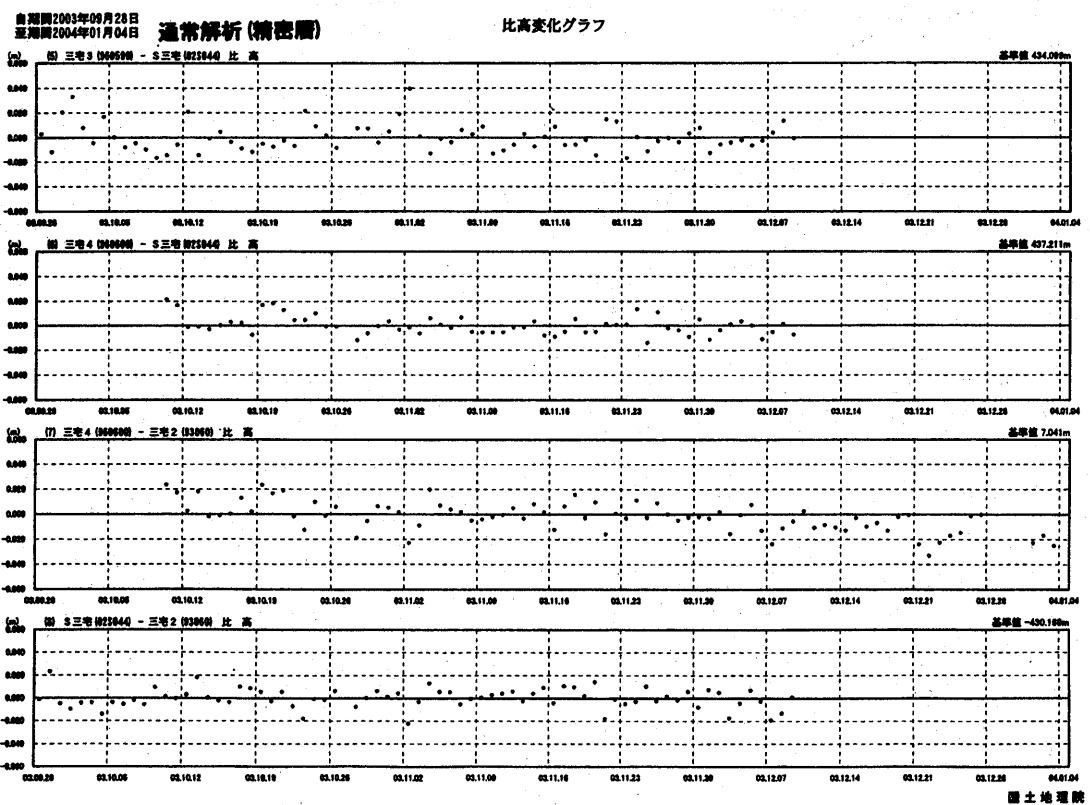
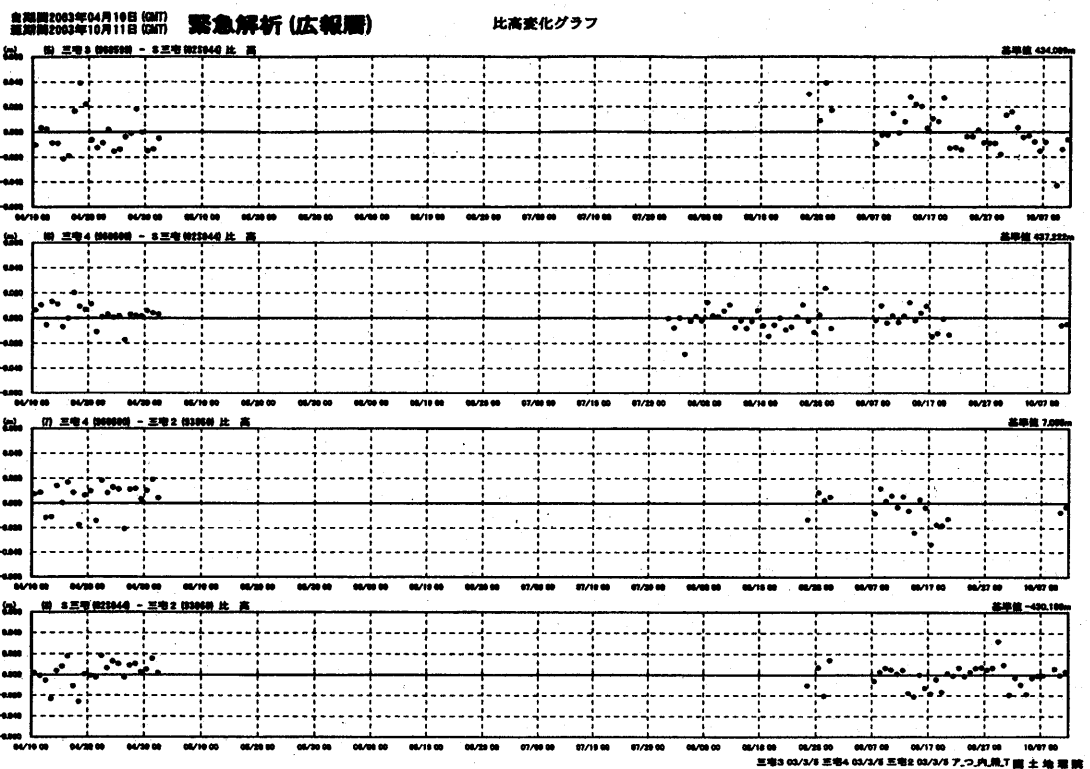
第2-3図 三宅島島内GPS連続観測結果（2003年9月～2004年1月）

Fig. 2-3 Change of Horizontal Strain Distribution of the Miyakejima Island Derived from Continuous GPS Measurements Data.



第2-4図 三宅島島内GPS連続観測結果(2003年9月～2004年1月)

Fig. 2-4 Change of Horizontal Strain Distribution of the Miyakejima Island Derived from Continuous GPS Measurements Data.



第2-5図 三宅島島内GPS連続観測結果(2003年9月～2004年1月)

Fig. 2-5 Change of Horizontal Strain Distribution of the Miyakejima Island Derived from Continuous GPS Measurements Data.